

# Formation ATIAM

Acoustique Traitement du Signal Informatique Appliqués à la Musique  
Parcours multi-mentions du Master (M2) Sciences et Technologies de  
l'Université Pierre et Marie Curie (Paris 6)



## UE Méthodes mathématiques pour l'informatique musicale [MMIM]

Marc Chemillier - Moreno Andreatta

Equipe Représentations Musicales

IRCAM/CNRS UMR 9912





## Plan du cours (M. Andreatta 10/1; 17/1; 18/1; 24/1; 7/2 ; 15/2)

---

Survol sur l'émergence des structures algébriques en musique

*Set Theory* et théorie transformationnelle.

Théorie des cribles de Iannis Xenakis et structures d'ordre

Théorie modale d'Anatol Vieru

Énumération et classification paradigmatique des structures musicales en *OpenMusic*

Canons rythmiques et théorie des suites périodiques engendrées par différences finies

*Nomos Alpha* de Xenakis, groupe de rotations du cube et Fibonacci



Méthodes algébriques en Musique  
et Musicologie du XX<sup>e</sup> siècle :  
aspects  
théoriques, analytiques et  
compositionnels

[www.ircam.fr/equipes/repmus/moreno](http://www.ircam.fr/equipes/repmus/moreno)

[www.ircam.fr/equipes/repmus/mamux](http://www.ircam.fr/equipes/repmus/mamux)



Mathématiques  
modernes

*double perspective*

Musique

XX<sup>e</sup>  
siècle

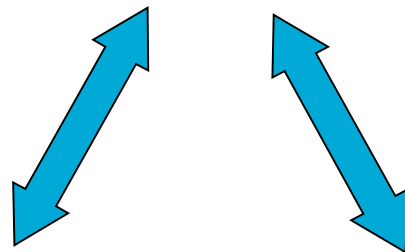
Musicologie

Théorie

Analyse

Composition

*tripartition*

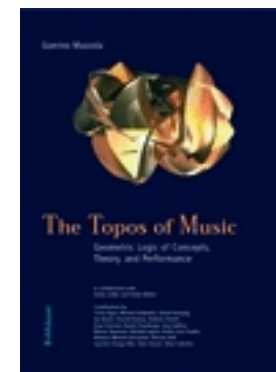
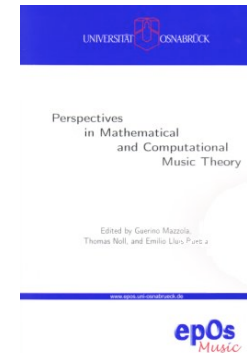
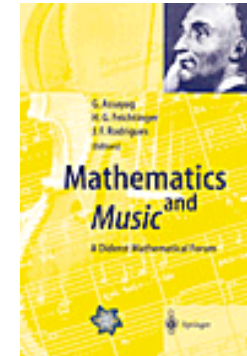




# Mathématiques/Musique

## Quelques repères récents

- 1999 : 4<sup>e</sup> Forum Diderot (Paris, Vienne, Lisbonne), *Mathematics and Music* (Assayag et al., 2001)
- 2000 - 2003 : International Seminar on MaMuTh (Mexique, Zürich, Berlin). *Perspectives in Mathematical and Computational Music Theory* (Mazzola, Noll, Luis-Puebla, epOs, 2004)  
<http://www.epos.uos.de/music/>
- 2004 : Formal Systems and Music. Special Issue of Soft Computing (Assayag, Cafagna, Chemillier)
- 2001 - 2005 : Séminaire *MaMuX* de l'IRCAM  
<http://recherche.ircam.fr/equipes/repmus/mamux/>
- 2004 - 2005 : Séminaire « Penser la musique avec les mathématiques » (ENS/IRCAM)  
<http://www.entretemps.asso.fr/math>



# Algèbre et Musique : un survol

## → *Méthodes algébriques en théorie de la musique*

Tradition américaine 'set-théorique'

Musiques formelles

Théorie modale

Théorie mathématique de la musique

*Babbitt*  
*Lewin*

*Xenakis*  
*Barbaud*

*Vieru*

*Mazzola*

*Adler*

*Seeger*

*Riotte*  
*Mesnager*  
*Assayag*

## → *Musicologie computationnelle*

Musicologie systématique

CAO, AAO et TAO

« Analyse paradigmatique » en *OpenMusic*

→ Implémentation du processus compositionnel

*Riotte*  
*Mesnager*  
*Assayag*

# La place des mathématiques dans la musicologie systématique

Guido Adler : « Umfang, Methode und Ziel der Musikwissenschaft » (1885)

II. Systematisch.			
Aufstellung der in den einzelnen Zweigen der Tonkunst zuhöchst stehenden Gesetze.			
A. Erforschung und Begründung derselben in der	B. Aesthetik der Tonkunst.	C. Musikalische Pädagogik und Didaktik	D. Musikologie (Untersuchung und Vergleichung zu ethnographischen Zwecken).
1. <i>Harmo- nik</i> (tonal od. tonlich).	1. Vergleichung und Werthschätzung der Gesetze und deren Relation mit den apperzipirenden Subjecten behufs Feststellung der <i>Kriterien des musikalisch Schönen</i> .	(Zusammenstellung der Gesetze mit Rücksicht auf den Lehrzweck)	
2. <i>Rhyth- mik</i> (temporär oder zeitlich).	2. Complex unmittelbar und mittelbar damit zusammenhängender Fragen.	1. Tonlehre, 2. Harmonielehre, 3. Kontrapunkt, 4. Compositionslehre,	
3. <i>Melik</i> (Cohärenz von tonal und tem- porär).		5. Instrumentationslehre, 6. Methoden des Unterrichtes im Gesang und Instrumentalspiel.	

Hilfswissenschaften: Akustik und Mathematik.  
Physiologie (Tonempfindungen).  
Psychologie (Tonvorstellungen, Tonurtheile und Tongefühle).  
Logik (das musikalische Denken).  
Grammatik, Metrik und Poetik.  
Pädagogik  
Ästhetik etc.

« La deuxième grande partie de la musicologie est la partie systématique; cette partie se base sur la partie historique. (...) L'accent de l'observation réside dans l'analogie de la méthode musicologique avec la méthode scientifique ».



# Méthodes algébriques

Théorie  
↑  
↓  
Composition

# Musique

Théoriciens/Compositeurs

- Ernst Krenek
- Milton Babbitt
- Iannis Xenakis
- Anatol Vieru
- Pierre Barbaud
- Michel Philippot
- André Riotte
- ...

# Vers l'émergence des structures algébriques en musique

## *Ernst Krenek et la méthode axiomatique*

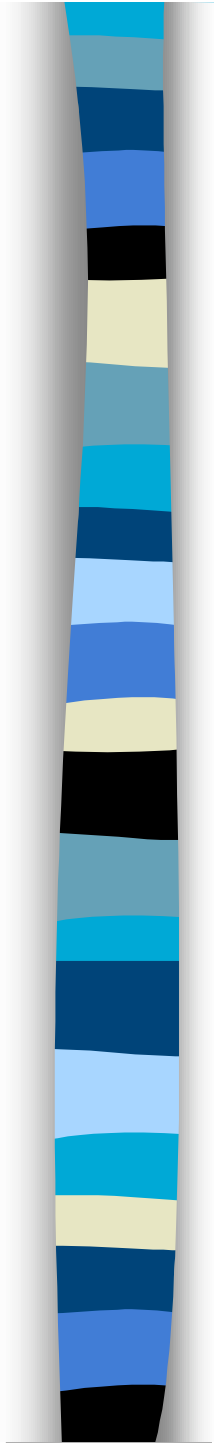
---

- *The Relativity of Scientific Systems*
- *The Significance of Axioms*
- *Axioms in music*
- *Musical Theory and Musical Practice*

Ernst Krenek : *Über Neue Musik*, 1937  
(Engl. Transl. *Music here and now*, 1939).

«*Physicists and mathematicians are far in advance of musicians in realizing that their respective sciences do not serve to establish a concept of the universe conforming to an objectively existent nature*»

«*As the study of axioms eliminates the idea that axioms are something absolute, conceiving them instead as **free propositions of the human mind**, just so would this **musical theory** free us from the concept of major/minor tonality [...] as an irrevocable law of nature*».

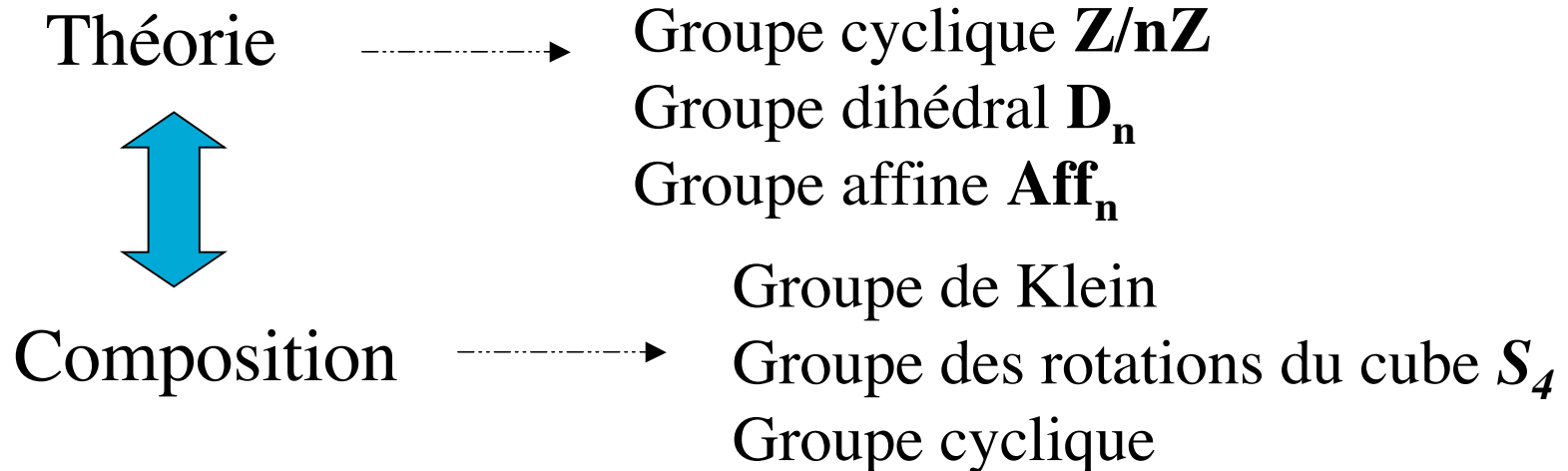


**Babbitt** : *The function of Set Structure  
in the Twelve-Tone System*, PhD 1946/1992

**Xenakis** : *Musiques formelles*, 1963

**Vieru** : *Eléments  
d'une théorie générale des  
modes*, 1967

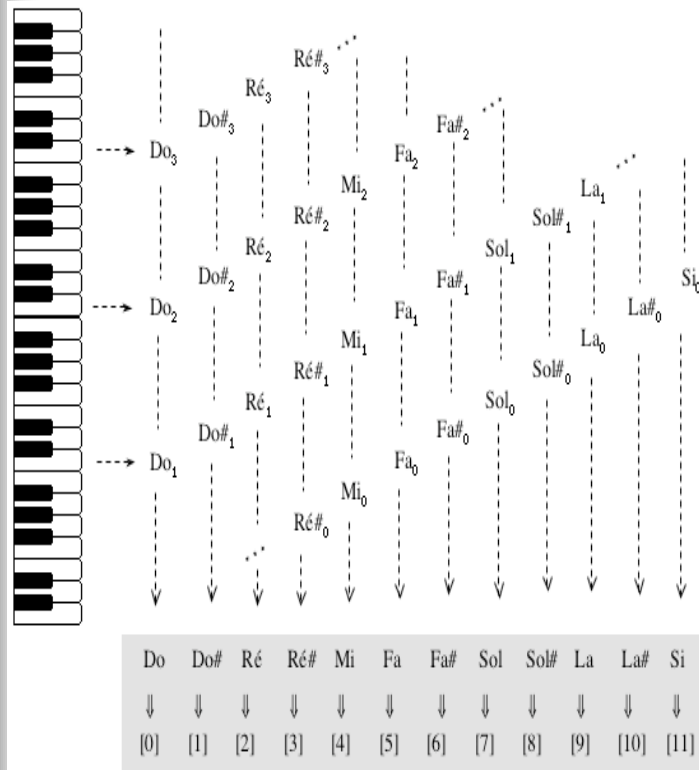
La structure de  
groupe en musique





# Towards an algebraic approach in music

## *The congruence relation mod 12*



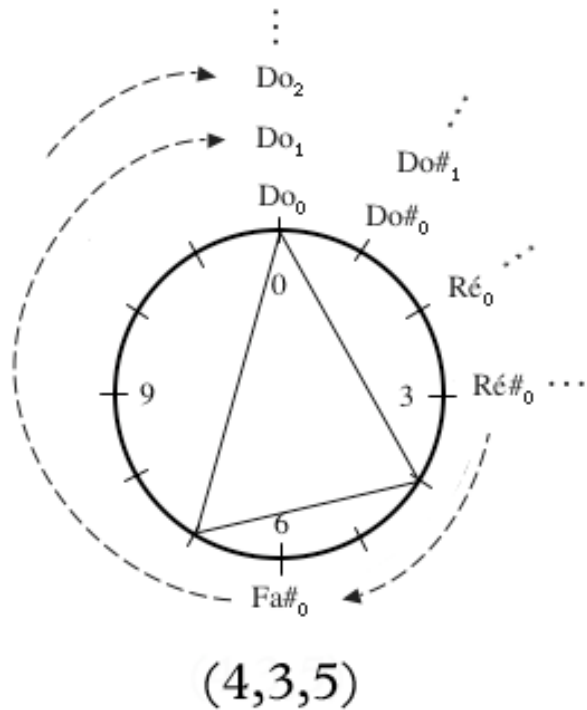
Camille Durutte:

- *Technie, ou lois générales du système harmonique* (1855)
- *Résumé élémentaire de la Technie harmonique, et complément de cette Technie* (1876)

« *Two elements are congruent modulo 12 if their difference is equal to a multiple of 12* »

(M. Babbitt: *The function of Set Structure in the Twelve-Tone System*, 1946)

# The emergence of group structure in music



↓  
Cyclic group  
 $\mathbb{Z}/12\mathbb{Z}$

*The congruence modulo 12 is an equivalence relation*

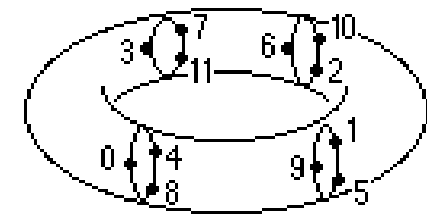
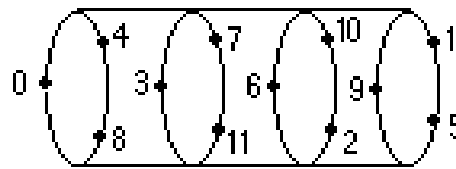
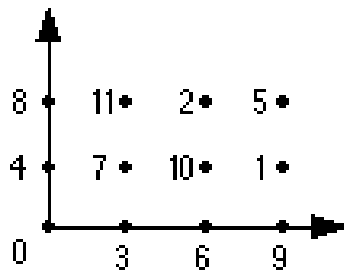
- Reflexivity:  $a \sim a$
- Symmetry:  $a \sim b \Leftrightarrow b \sim a$
- Transitivity:  $a \sim b, b \sim c \Rightarrow a \sim c$

*The equivalence classes modulo 12 define a **group** structure*

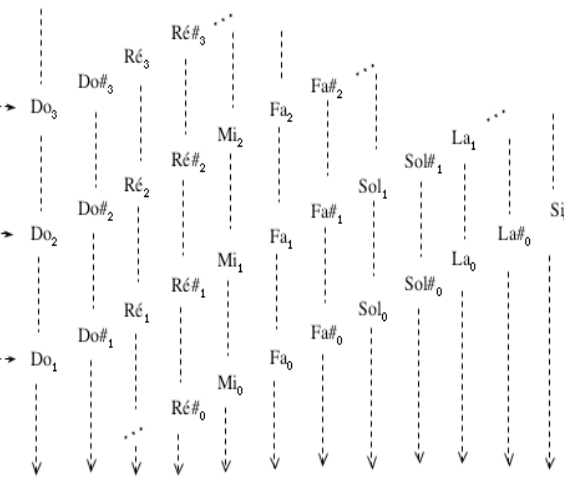
- The operation is internal
- Existence of an identity
- Existence of an invers
- Associativity



# Formalisation vs représentation

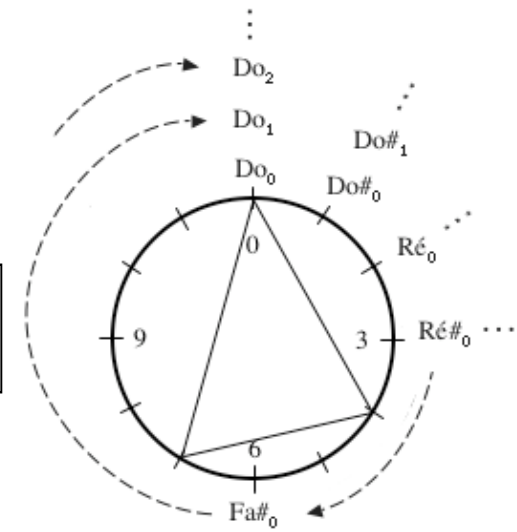


Représentation toroidale



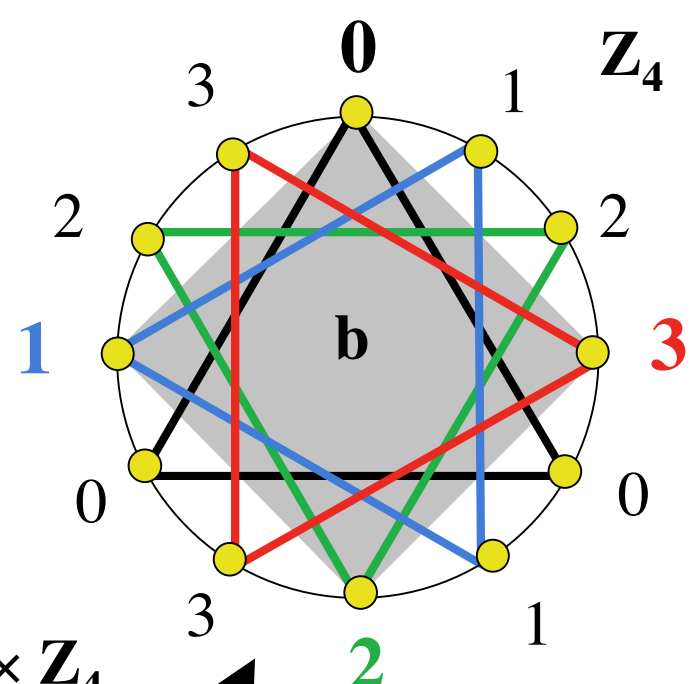
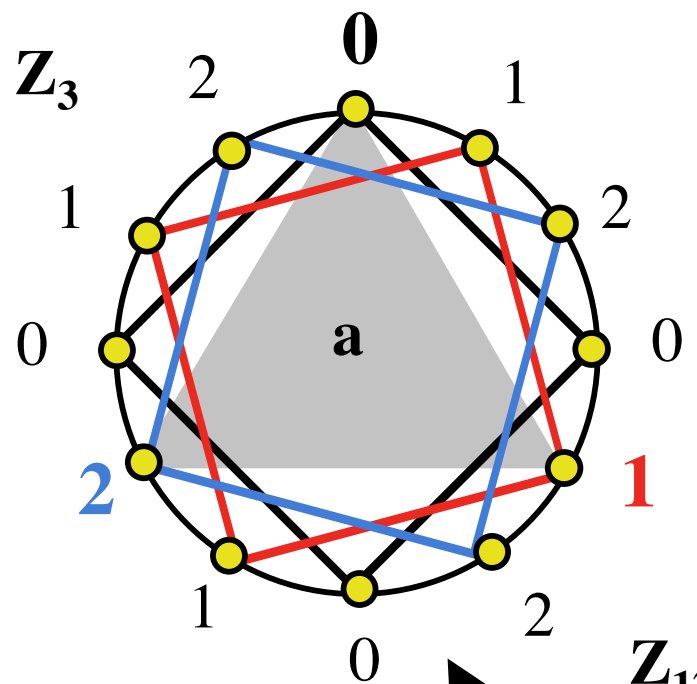
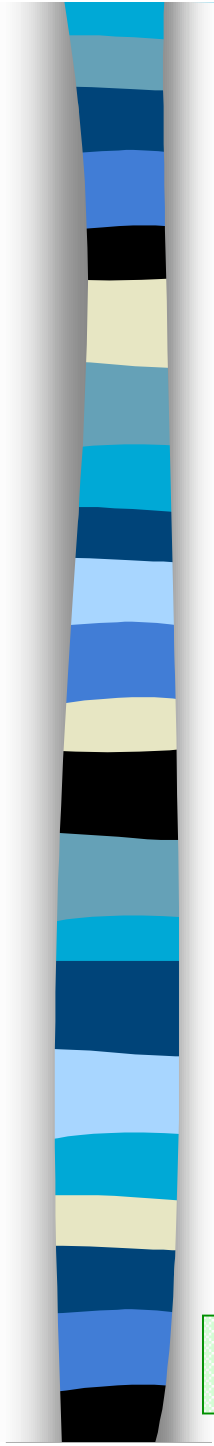
Do	Do#	Ré	Ré#	Mi	Fa	Fa#	Sol	Sol#	La	La#	Si
↓	↓	↓	↓	↓	↓	↓	↓	↓	↓	↓	↓
[0]	[1]	[2]	[3]	[4]	[5]	[6]	[7]	[8]	[9]	[10]	[11]

$$\mathbb{Z}_{12} = \mathbb{Z}_3 \times \mathbb{Z}_4$$



(4,3,5)

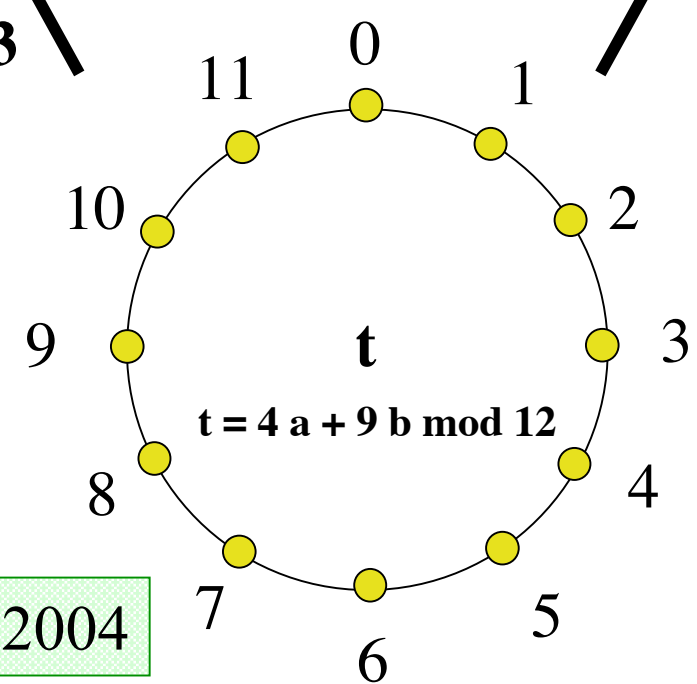
Représentation circulaire



$$\mathbf{Z}_{12} = \mathbf{Z}_3 \times \mathbf{Z}_4$$

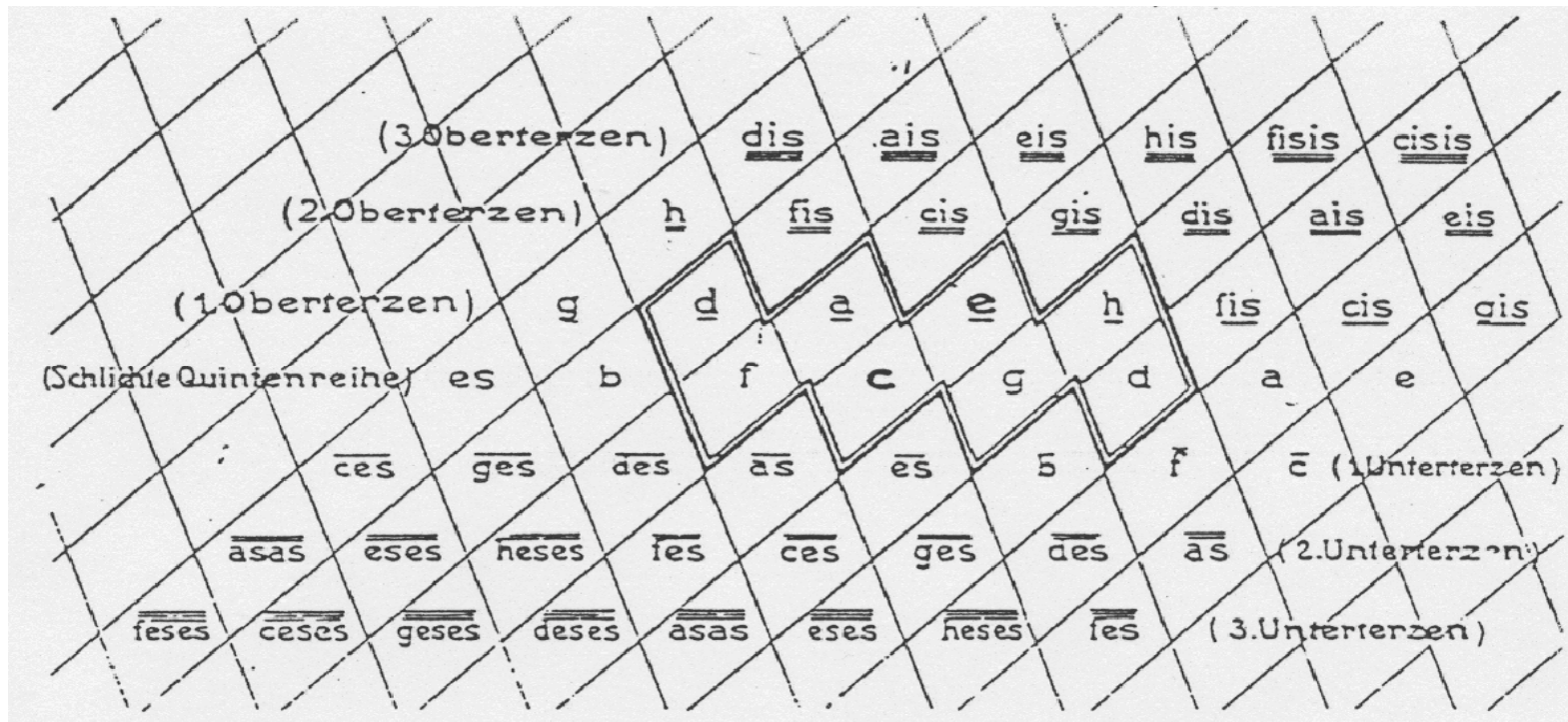
$$a = t \bmod 3$$

$$b = t \bmod 4$$



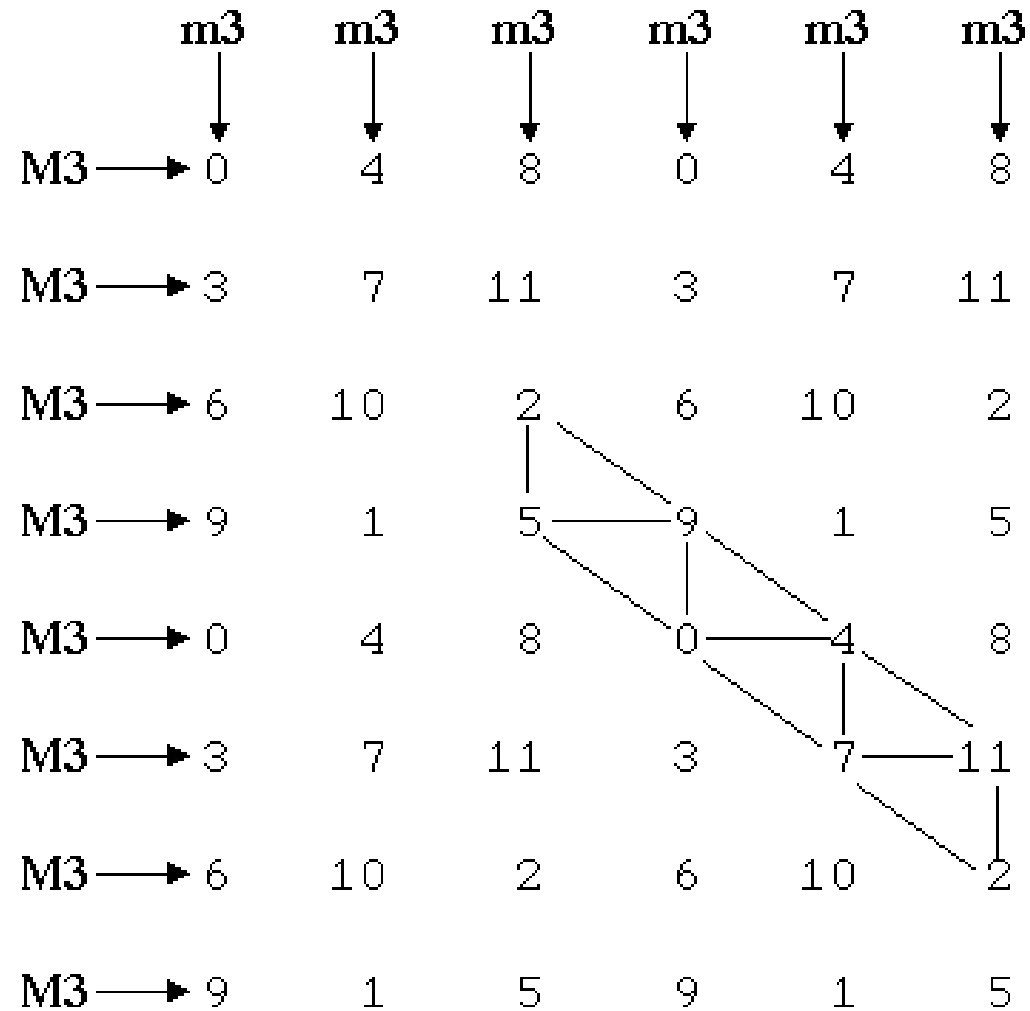
Noll, *MaMuX*, déc. 2004

# La représentation (géométrique) des structures musicales



Hugo Riemann : « Ideen zu einer *Lehre von den Tonvorstellung* », 1914

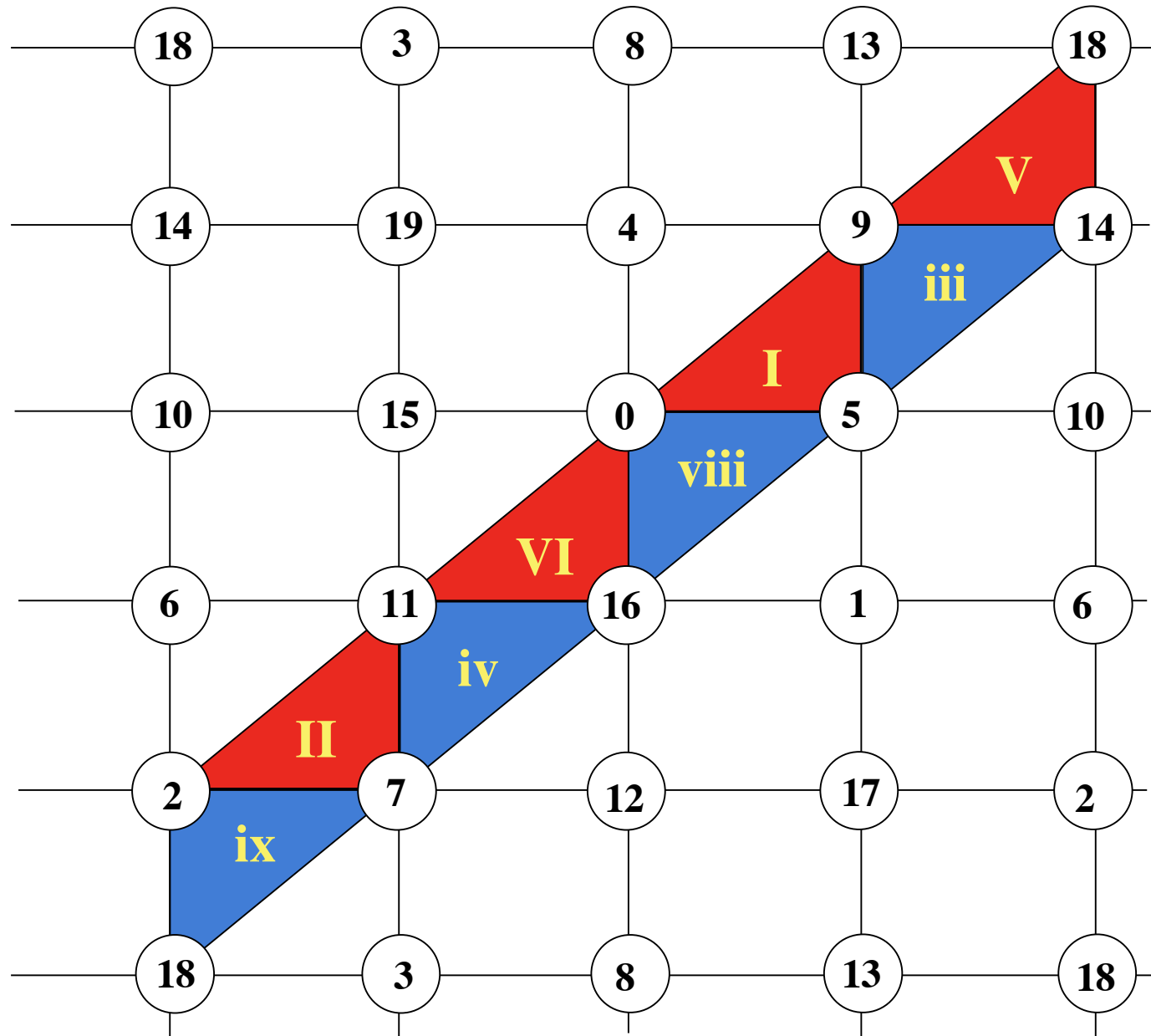
# Représentation bidimensionnelle de $\mathbb{Z}/12\mathbb{Z}$



Propriété géométrique de la gamme diatonique  
(Longuet-Higgins, Balzano, ...)

# Généralisations pour $Z_n = Z_{k(k+1)}$ (Balzano, 1980)

Noll, *MaMuX*, Déc. 2004



## Une démarche algébrique pour le sérialisme intégral

*« Une compréhension de la structuration dodécaphonique des composantes autres que les hauteurs ne peut que passer par une définition correcte et rigoureuse de la **nature** du système et des **opérations** qui lui sont associées »*

M. Babbitt : « Some Aspects of Twelve-Tone Composition », 1955

*« [Le système] peut être caractérisée complètement en explicitant les éléments, les **relations** [...] entre ces éléments et les **opérations** sur les éléments ainsi reliés. [...] Toute considération sur les opérations du système doit procéder de la conscience de leur nature permutationnelle »*

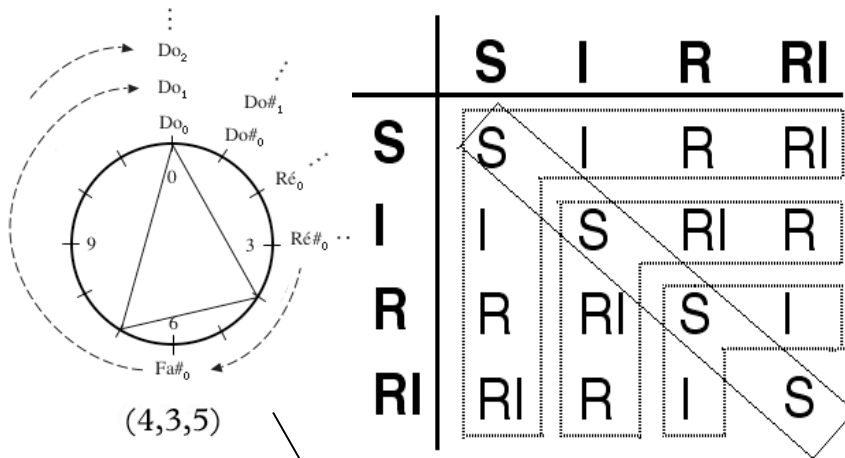
M. Babbitt : « Twelve-Tone Invariants as Compositional Determinants », 1960

*« ...un large nombre de conséquences compositionnelles sont dérivables directement de théorèmes de **théorie des groupes finis** »*

M. Babbitt : « Set Structure as a Compositional Determinant », 1961

# Le système dodécaphonique et la théorie des groupes

The Twelve-Tone System, is a «*set of elements, relations between elements and operations upon elements*» (Babbitt, 1946)



$$S: (a,b) \rightarrow (a,b)$$

$$I: (a,b) \rightarrow (a, 12-b \text{ mod. } 12)$$

$$R: (a,b) \rightarrow (11-a,b).$$

$$RI: (a,b) \rightarrow (a, 12-b \text{ mod. } 12)$$

$$\downarrow$$

$$(11-a, 12-b \text{ mod. } 12)$$

S

I

R

RI

$$S(a,b) = (a,b)$$

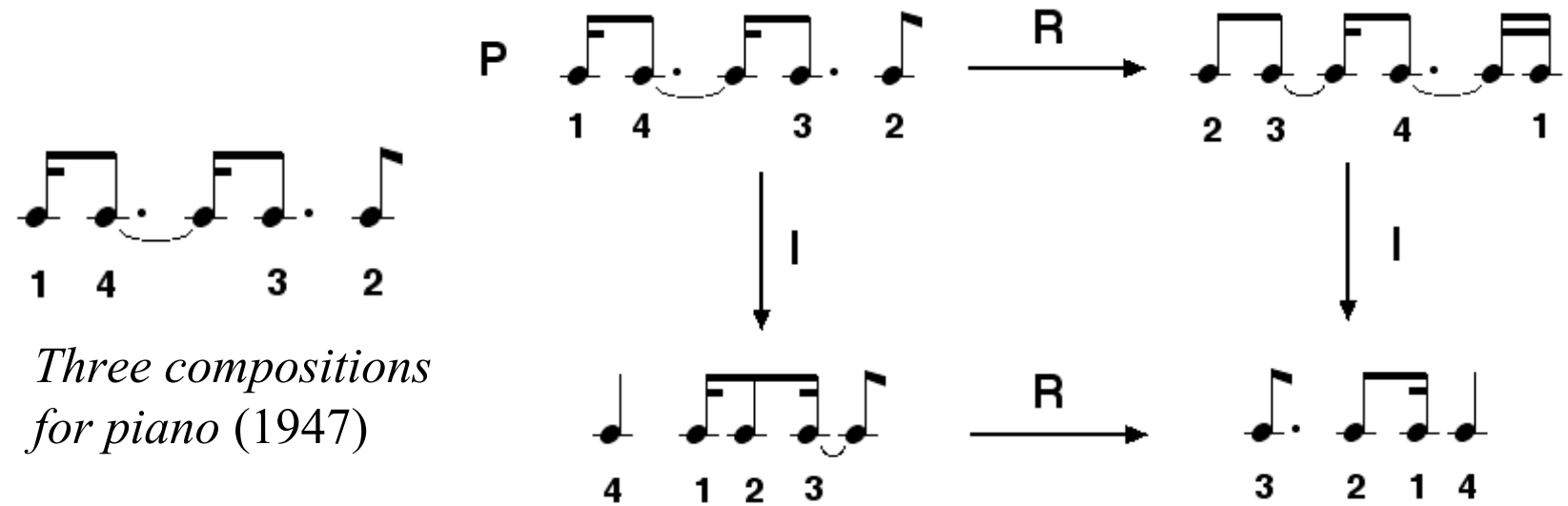
$$I(a,b) = (a, 12-b \text{ mod. } 12)$$

$$R(a,b) = (11-a,b).$$

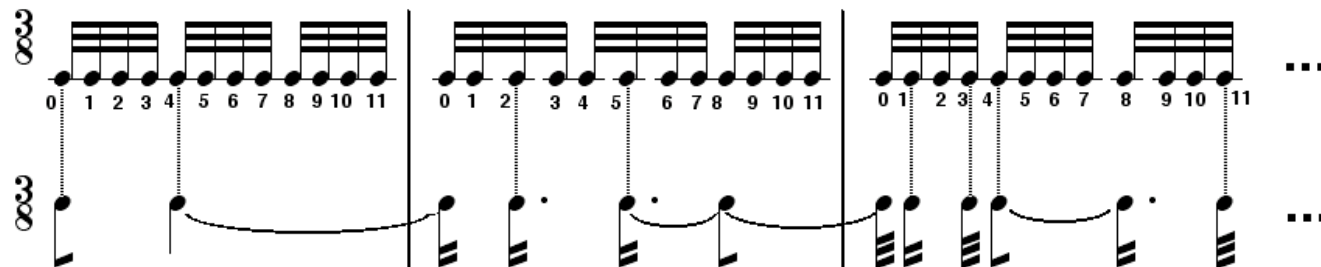
$$RI(a,b) = R(a, 12-b \text{ mod. } 12) = (11-a, 12-b \text{ mod. } 12)$$

# Vers une formalisation algébrique du sérialisme intégrale

- La série des durées temporelles (*durational row*)



- Le système des points d'attaque (*Time-Points System*)





## Vers un modèle de la pensée intervallique chez A. Vieru

*« ...The modes, no matter which they may be, start from a common background of the musical human hearing; **anywhere** and **any time**, our hearing on the basis of an inborn sensibility and logics [...] performs in the field of musical scales certain modal operations. [...] These intuitive or technical operations are of the nature called in mathematics the **theory of sets** ».*

A. Vieru: « Modes, elements of a general theory of modes », 1967

*« Nous appelons mode tout ensemble de classes de résidus »*

A. Vieru : *Le livre des modes*, 1980

*« [...] si les échelles ont vraiment un statut ensembliste, où sont les intervalles ? Quel est leur statut ? »*

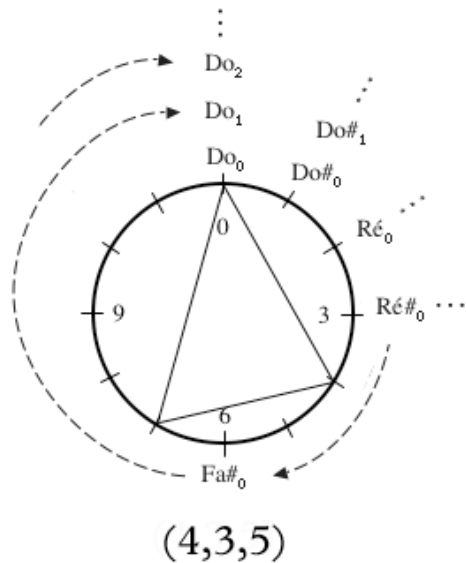
A. Vieru : « Nature et culture dans la perception musicale », 1998.

*« ...l'une des questions les plus spécifiques, délicates et mystérieuses de la musique : la dualité sons/intervalles »*

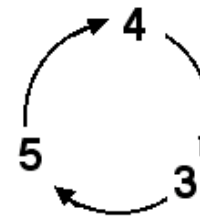
A. Vieru : « Une théorie musicale pour la période postmoderne », 1994.

# La dualité son/intervalles

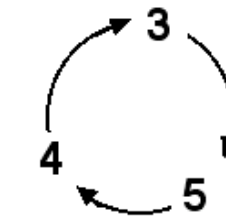
La « structure intervallique » et l'opération de « composition »



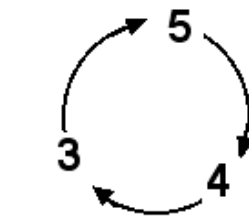
(4 3 5)



(3 5 4)



(5 4 3)



$(1\ 2\ 3\ 1\ 2\ 3) \bullet \{0\} = \{0, 1, 3, 6, 7, 9\}$

$(6\ 6) \bullet \{0, 1, 3\} =$

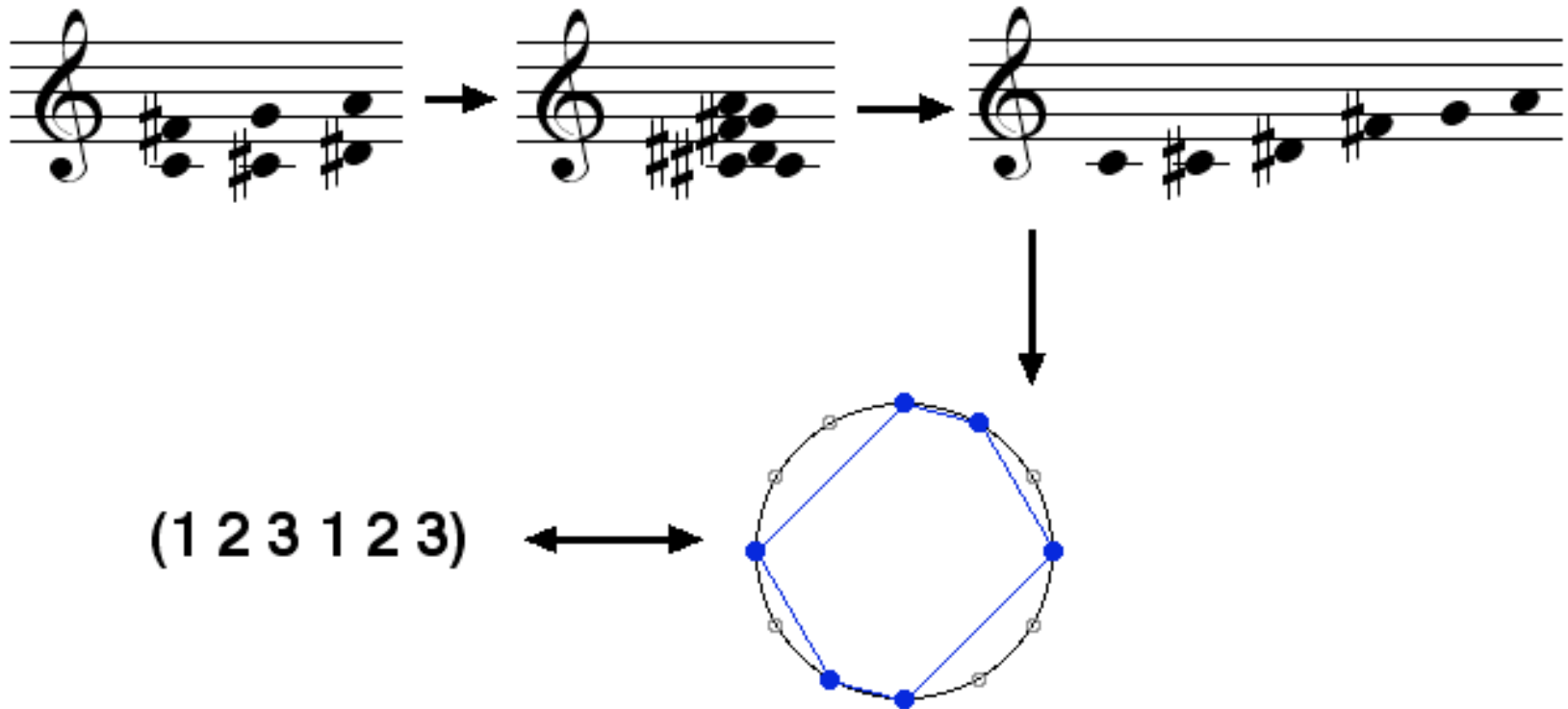
$= ((6\ 6) \bullet \{0\}) \cup ((6\ 6) \bullet \{1\}) \cup ((6\ 6) \bullet \{3\}) =$

$= \{0, 6\} \cup \{1, 7\} \cup \{3, 9\} =$

$= \{0, 1, 3, 6, 7, 9\}.$

$6_0 \cup 6_1 \cup 6_3$   
crible

« • » et la « multiplications d'accords » (Boulez)  
(ou *Transpositional Combination*, Richard Cohn)



Composition de deux structures intervalliques

$$(6\ 6) \cdot (1\ 2\ 9) = ?$$

# La composition de deux structure intervalliques

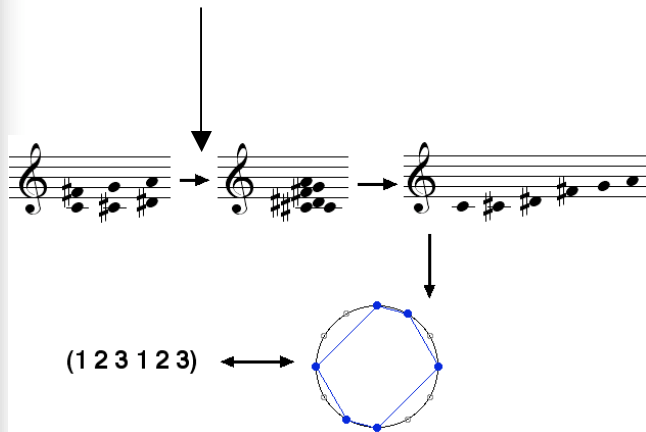
$$(6\ 6) \bullet (1\ 2\ 9) = ?$$

$$(6\ 6) \bullet \{0, 1, 3\} =$$

...

$$= \{0, 1, 3, 6, 7, 9\}$$

$$(1\ 2\ 3\ 1\ 2\ 3)$$

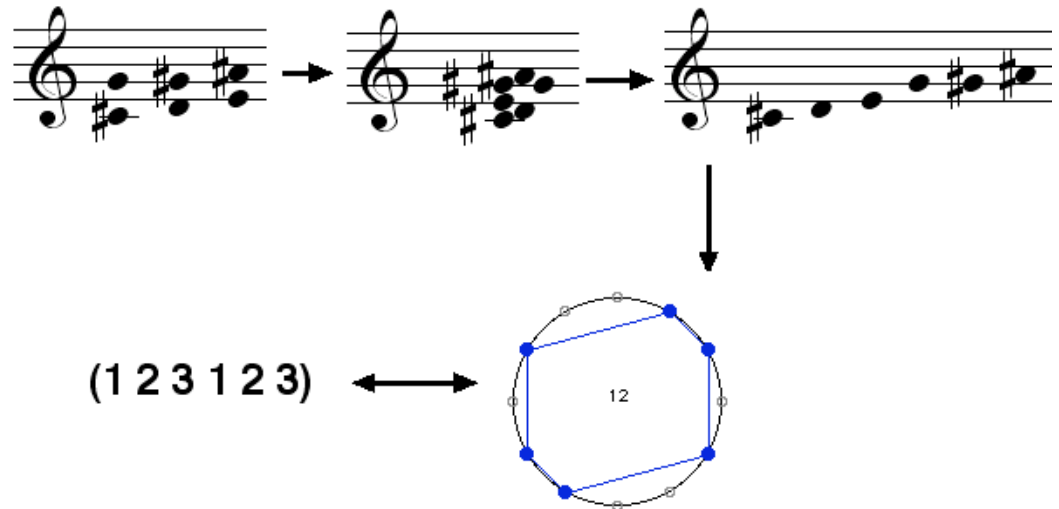


$$(6\ 6) \bullet \{1, 2, 4\} =$$

$$= \{1, 7\} \cup \{2, 8\} \cup \{4, 10\} =$$

$$= \{1, 2, 4, 7, 8, 10\}$$

$$(1\ 2\ 3\ 1\ 2\ 3)$$



Elle est bien définie !

# Quelques applications de l'opération « • »

- Construction des modes (généralisés) de Messiaen
- Construction des canons rythmiques

$$(6\ 6) \bullet \{0, 1, 3\} = \dots = \{0, 1, 3, 6, 7\ 9\} \longrightarrow (1\ 2\ 3\ 1\ 2\ 3)$$

$$(6\ 6) \bullet \{0, 1\} = \dots = \{0, 1, 6, 7\} \longrightarrow (1\ 5\ 1\ 5)$$

$$(6\ 6) \bullet \{a, b, c, \dots\} \longrightarrow \text{Mode de Messiaen}$$

$$A_1 = (1, 1, 1, 1, 1, 1, 1, 1, 1, 1, 1)$$

$$A_2 = (2, 2, 2, 2, 2, 2)$$

$$A_3 = (3, 3, 3, 3)$$

$$A_4 = (4, 4, 4)$$

$$A_6 = (6, 6)$$

$$A_7 = (0)$$



*Totale chromatique*

*Gamme par tons*

*Accorde diminué*

*Accorde augmentée*

*Triton*

*« Classe de hauteur »*

# The construction of rhythmic (tiling) canons

Musical score for Harawi (1945) by Olivier Messiaen. It consists of three staves: two treble clefs and one bass clef. The tempo is marked '♩ = 40'. The music features complex rhythmic patterns and chords.

*Harawi* (1945)

Musical score for Visions de l'Amen (1943) by Olivier Messiaen. It consists of three staves, each with a treble clef. The music features complex rhythmic patterns and chords.

*Visions de l'Amen* (1943)

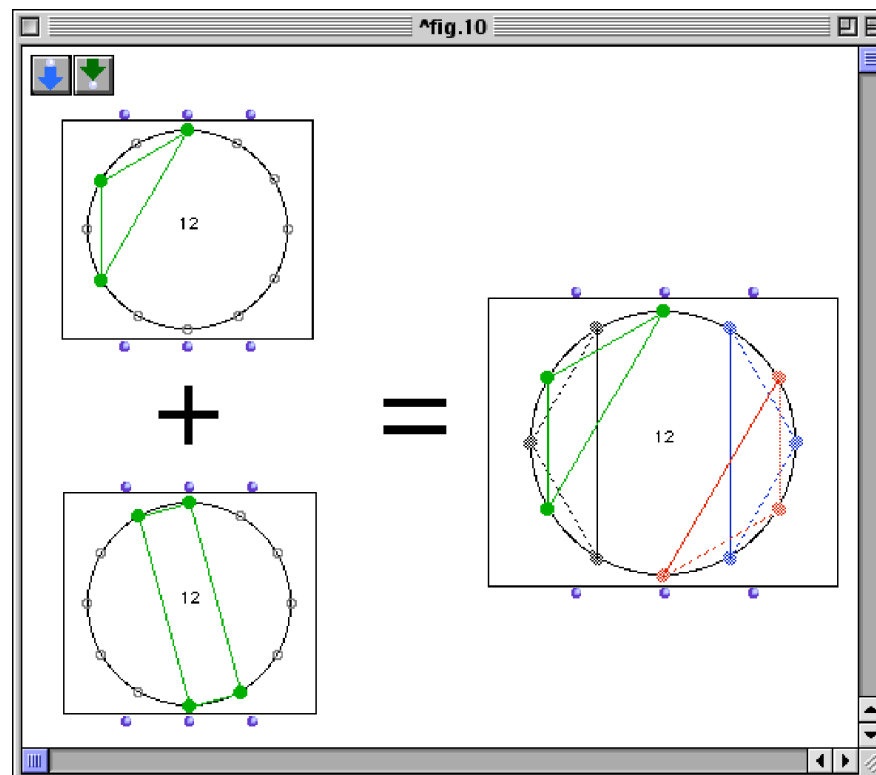
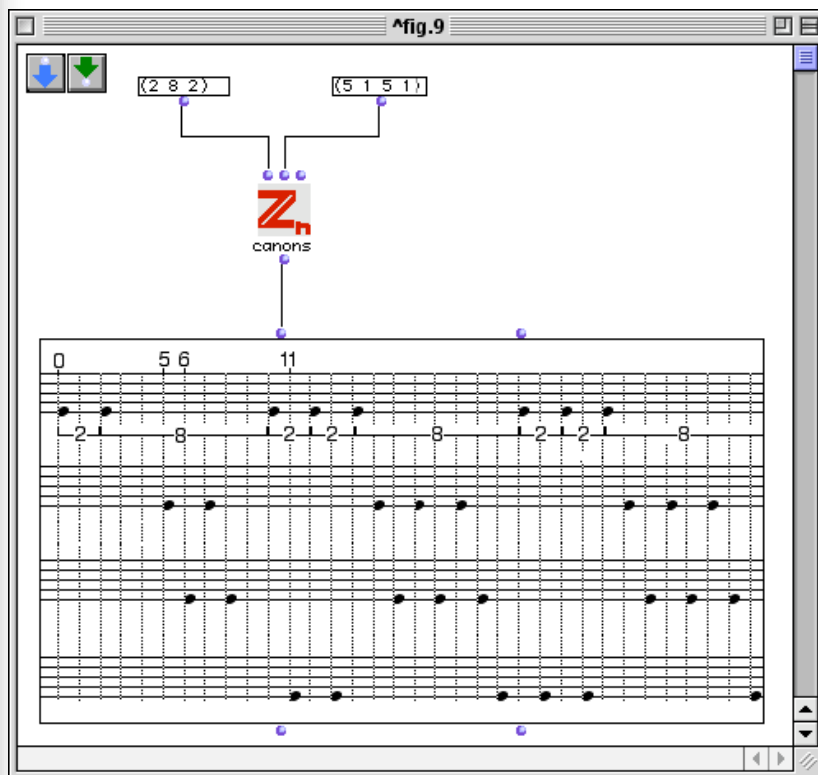
A rhythmic model diagram consisting of three staves. The top staff has blue dots on a treble clef staff. The middle staff has blue dots on a treble clef staff. The bottom staff has black dots on a treble clef staff. Vertical dotted lines connect the dots across the staves, illustrating the rhythmic structure.

Rhythmic  
model

« ...il résulte de tout cela que les différentes sonorités se mélangent ou s'opposent de manières très diverses, **jamais au même moment ni au même endroit [...]. C'est du désordre organisé** »

O. Messiaen : *Traité de Rythme, de Couleur et d'Ornithologie*, tome 2, Alphonse Leduc, Editions Musicales, Paris, 1992.

# Canons as Composition between modal structures



$$(2\ 8\ 2) \cdot (5\ 1\ 5\ 1) = \mathbf{Z/12Z}$$

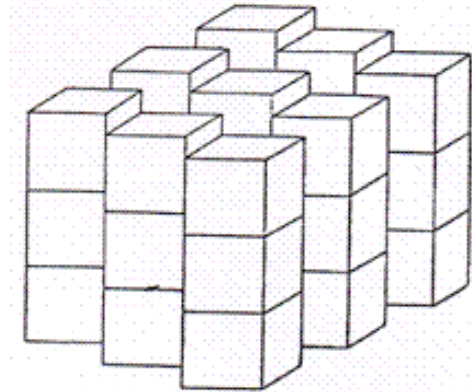


Transposition limited mode

# Canons rythmiques de pavage

théorie ↔ composition

- La conjecture de Minkowski
- La solution algébrique de Hajos
- Les intuitions du « rythmicien » Messiaen
- Le modèle algébrique de Vieru/Vuza
- Le modèle informatique généralisé (en collaboration avec Carlos Agon et Thomas Noll)
- Applications compositionnelles (G. Bloch)
- L'énumération des solutions: un problème ouvert (Vuza, Andreatta, Fripertinger, Amiot, Noll, Tangian, Jedrzejewski...)



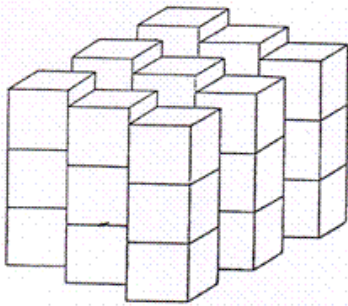
## ***Minkowski Conjecture (1896/1907)***

*In a simple lattice tiling] of the  $n$ -dimensional space by unit cubes, there are at least two cubes which share an entire  $(n-1)$ -dimensional face.*

(Cf. S. Stein, S. Szabó : *Algebra and Tiling*, 1994)



# Conjecture de Minkowski et théorème de Hajos



## **Conjecture de Minkowski (1896/1907)**

*Dans un pavage simple [simple lattice tiling] d'un espace à  $n$  dimensions par des cubes unités, il y a au moins un couple de cubes qui ont en commun une face entière de dimension  $n-1$ .*

## ***Théorème de Hajós (1942)***

Soit  $G$  un groupe abélien fini et soient  $a_1, a_2, \dots, a_n$   $n$  éléments de  $G$ .  
Si l'on suppose que le groupe admet comme factorisation la somme directe des sous-ensembles  $A_1, A_2, \dots, A_n$  suivants :

$$A_1 = \{1, a_1, \dots, a_1^{m_1-1}\}, A_2 = \{1, a_2, \dots, a_2^{m_2-1}\}, \dots, A_n = \{1, a_n, \dots, a_n^{m_n-1}\}$$

avec  $m_i > 0$  pour tout  $i=1, 2, \dots, n$ , alors un des facteurs  $A_i$  est un groupe

## ***Théorème de Redei (1965)***

Soit  $G$  un groupe abélien fini et soient  $A_1, A_2, \dots, A_n$   $n$  sous-ensembles de  $G$ , chacun contenant l'élément neutre du groupe et chacun ayant un nombre premier d'éléments et supposons que le groupe admette comme factorisation la somme directe des sous-ensembles  $A_i, i=1, \dots, n$ . Alors, un des sous-ensembles  $A_i$  est périodique

# Groupes de Hajós et canons de pavage

Un groupe  $G$  est “ groupe de Hajós ” si pour toute factorisation du groupe en somme directe de ses sous-ensembles  $A_1, A_2, \dots, A_k$ , au moins un des facteurs est périodique.

Rédei 1947

$(p, p)$

Hajós 1950

$\mathbf{Z}$

De Brujin 1953

$\mathbf{Z}/n\mathbf{Z}$  avec  $n = p^\alpha$

$(p^\alpha, q)$

$(p, q, r)$

Sands 1957

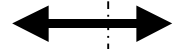
$(p^2, q^2)$

$(p^2, q, r)$

$(p, q, r, s)$

72
108 120 144 168 180
200 216 240 252 264 270 280 288
300 312 324 336 360 378 392 396
400 408 432 440 450 456 468 480
500 504 520 528 540 552 560 576 588 594
600 612 616 624 648 672 675 680 684 696
700 702 720 728 744 750 756 760 784 792
800 810 816 828 864 880 882 888
900 912 918 920 936 945 952 960 968 972 980 984
1000 ...

$n \notin$



Sands 1959

$(2^2, 2^2)$

$(3^2, 3)$

$(2^n, 2)$

Sands 1962

$(p, 3, 3)$

$(p, 2^2, 2)$

$(p, 2, 2, 2, 2)$

$(p^2, 2, 2, 2)$

$(p^3, 2, 2)$

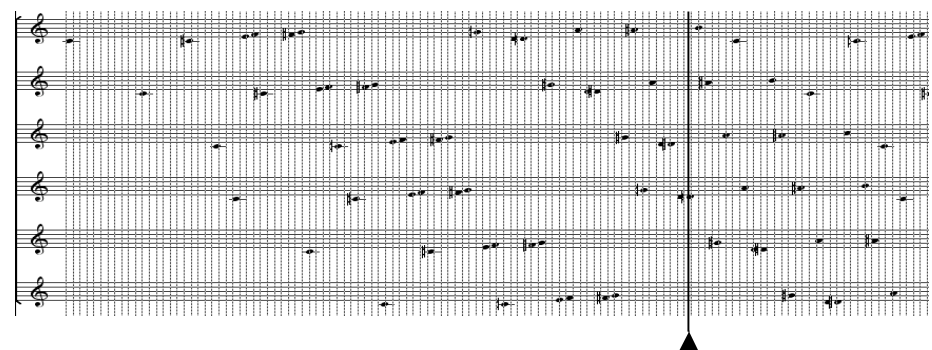
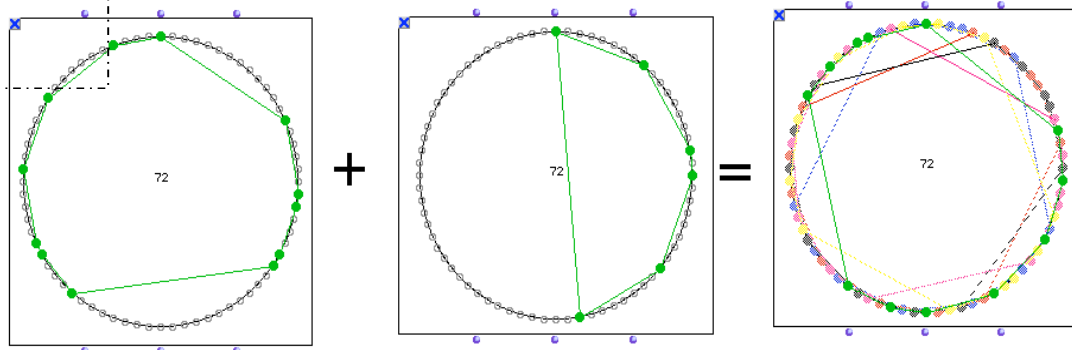
$(p, q, 2, 2)$

Sands 1964

$\mathbf{Q}$

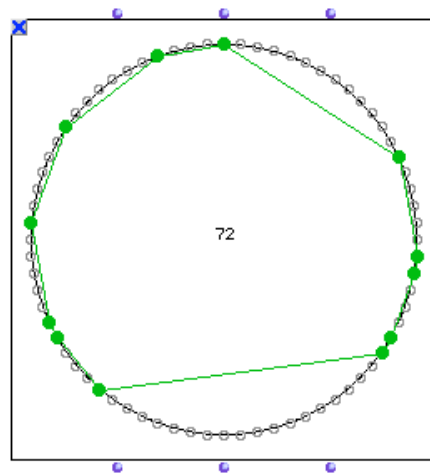
$\mathbf{Z} + \mathbf{Z}/p\mathbf{Z}$

$\mathbf{Q} + \mathbf{Z}/p\mathbf{Z}$

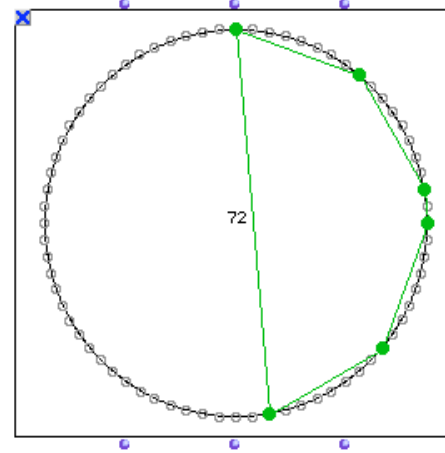


# Hauteurs/Rythmes : les canons rythmiques de pavage

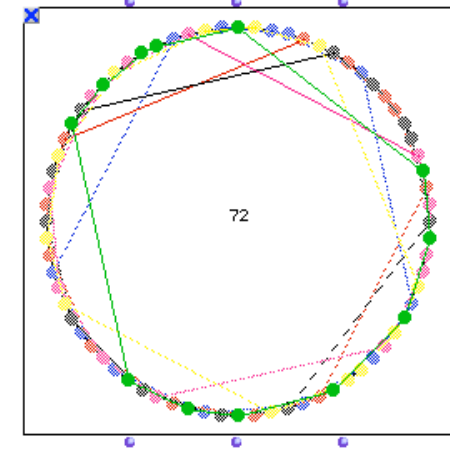
A musical score consisting of six staves, each with a treble clef. A vertical line of symmetry is drawn through the center of the score. On each staff, a rectangular box highlights a specific rhythmic motif. The motifs are mirrored across the vertical axis, illustrating a rhythmic canon.



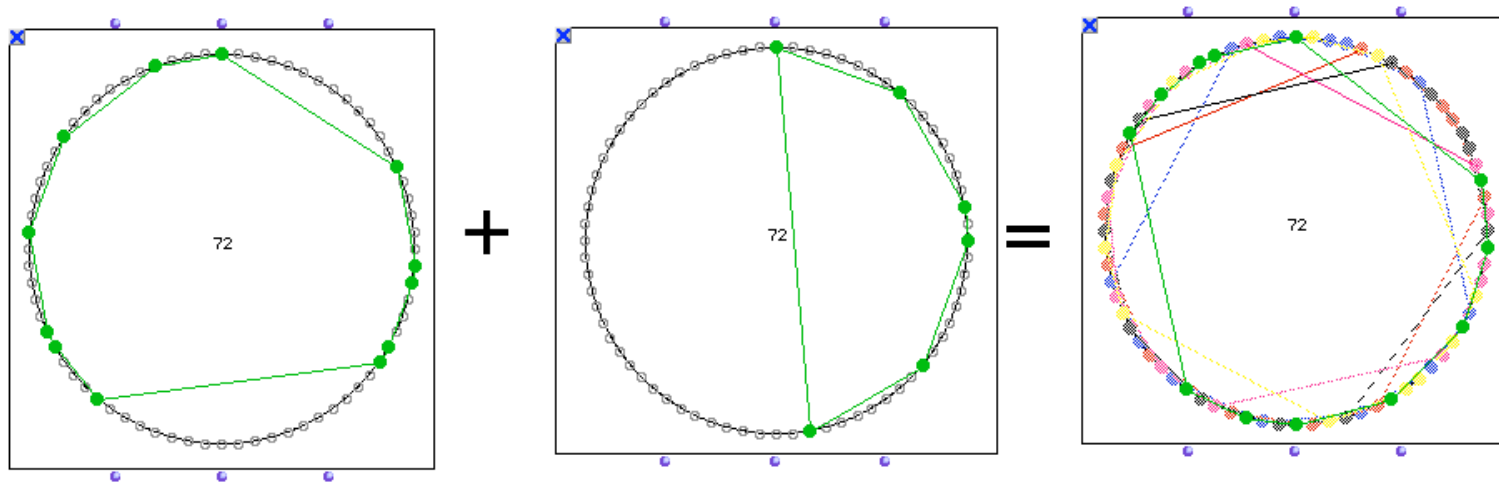
+



=



# Vers une classification des canons RCCM

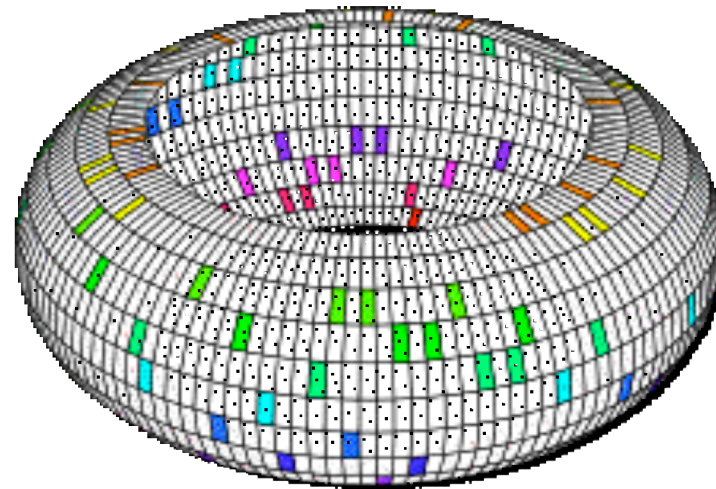


**R**

```
(1 3 3 6 11 4 9 6 5 1 3 20)
(20 3 1 5 6 9 4 11 6 3 3 1)
(1 4 1 19 4 1 6 6 7 4 13 6)
(6 13 4 7 6 6 1 4 19 1 4 1)
(1 5 15 4 5 6 6 3 4 17 3 3)
(3 3 17 4 3 6 6 5 4 15 5 1)
```

**S**

```
(8 8 2 8 8 38)
(16 2 14 2 16 22)
(14 8 10 8 14 18)
```





# Évolutions récentes: le pavage de la ligne

- Tom Johnson (2001): pavage de la ligne avec un pattern rythmique donné
    - ex. 11001
  - Andranik Tangian (2001): Représentation polynomial
    - $J(X) = 1 + X + X^4$  (**JOHNSON's polynomial**).
  - Emmanuel Amiot (2002): A solution to Johnson-Tangian conjecture
    - **Theorem:** *Any tiling of the line by the pattern 1 1 0 0 1 and its binary augmentations (eg 1 0 1 0 0 0 0 1, 1 0 0 0 1 0 0 0 0 0 0 0 0 0 0 1...) has a length that is a multiple of 15.*
  - Harald Fripertinger (2002):
    - “Enumeration of non-isomorphic canons”, *Tatra Mt. Math. Publ.*, 23, 47-57, 2001
- 
- R. Tijdeman : “Decomposition of the Integers as a direct sum of two subsets” (dans *Séminaire de théorie des nombres de Paris*, CUP, 1995)
  - J. Lagarias & Y. Wang : “Tiling the line with translates of one tile”, *Inv. Math.*, 124, pp.341-365, 1996
  - E. Coven & A. Meyerowitz : “Tiling the integers with translates of one finite set”, *J. Algebra*, 212, pp.161-174, 1999

# Canons de pavage et pôlynomes

$$A \oplus B = \mathbb{Z}/n\mathbb{Z}$$

Amiot 2001-2005

$$A(x) = \sum_{k \in A} x^k$$

$$A(x) \times B(x) = (A \oplus B)(x) \equiv 1 + x + \dots + x^{n-1} \pmod{X^n - 1}$$

$$\{0, 1, 3, 6\} \oplus \{0, 8, 12, 4\}$$

$$(X^6 + X^3 + X + 1)(X^{12} + X^8 + X^4 + 1)$$

$$X^{18} + X^{15} + X^{14} + X^{13} + X^{12} + X^{11} + X^{10} +$$
$$X^9 + X^8 + X^7 + X^6 + X^5 + X^4 + X^3 + X + 1$$

$$X^{15} + X^{14} + X^{13} + X^{12} + X^{11} + X^{10} + X^9 + X^8 +$$

$$X^7 + X^6 + X^5 + X^4 + X^3 + X^2 + X + 1$$



# Racines de l'unité et pôlynomes cyclotomiques

Racines  $n$ -ièmes de l'unité :  $z^n = 1$

$$n=3 \longrightarrow \left\{ 1, \frac{-1 + i\sqrt{3}}{2}, \frac{-1 - i\sqrt{3}}{2} \right\}$$

$$n=4 \longrightarrow \{1, +i, -1, -i\}$$

Les racines  $n$ -ièmes de l'unité peuvent s'écrire sous la forme :

$$e^{\frac{2k\pi i}{n}} = \cos\left(\frac{2k\pi}{n}\right) + i \sin\left(\frac{2k\pi}{n}\right) \quad (k, n \in \mathbb{N} \text{ et } 0 \leq k < n)$$

Elles sont exactement les racines du pôlynome :  $P(X) = X^n - 1$

Les racines  $n$ -ièmes primitives de l'unité :  $e^{\frac{2ki\pi}{n}} \quad (n,k)=1$

Elles sont exactement les racines du pôlynome cyclotomique :

$$\Phi_n(X) = \prod_{k=1}^{\varphi(n)} (X - z_k) \longleftrightarrow X^n - 1 = \prod_{d|n} \Phi_d(X).$$

# Pavage de la ligne et pôlynomes cyclotomiques

$$\Phi_n(X) = \prod_{k=1}^{\varphi(n)} (X - z_k) \longleftrightarrow X^n - 1 = \prod_{d|n} \Phi_d(X).$$

$$\Phi_1(X) = -1 + X \longleftrightarrow (-1, 1)$$

$$\Phi_2(X) = 1 + X \longleftrightarrow (1, 1)$$

$$\Phi_3(X) = 1 + X + X^2 \longleftrightarrow (1, 1, 1)$$

$$\Phi_4(X) = 1 + X^2 \longleftrightarrow (1, 0, 1)$$

$$\Phi_5(X) = 1 + X + X^2 + X^3 + X^4 \longleftrightarrow (1, 1, 1, 1, 1)$$

$$\Phi_6(X) = 1 - X + X^2 \longleftrightarrow (1, -1, 1)$$

$$\Delta_n = 1 + X + X^2 + \dots + X^{n-1} = \prod_{\substack{d|n \\ d \neq 1}} \Phi_d(X)$$

$$\Delta_4 = 1 + X + X^2 + X^3 + \dots + X^7 = \Phi_2(X) \times \Phi_4(X)$$

$$A(x) \times B(x) = (A \oplus B)(x) \equiv 1 + x + \dots + x^{n-1} \pmod{X^n - 1}$$



# Les conditions de Coven-Meyerowitz

$$\Delta_n = 1 + X + X^2 + \dots + X^{n-1} = \prod_{\substack{d|n \\ d \neq 1}} \Phi_d(X)$$

$$\begin{aligned} \Phi_2(X) &= 1 + X && \longleftrightarrow && (1, 1) \\ \Phi_3(X) &= 1 + X + X^2 && \longleftrightarrow && (1, 1, 1) \\ \Phi_4(X) &= 1 + X^2 && \longleftrightarrow && (1, 0, 1) \\ \Phi_6(X) &= 1 - X + X^2 && \longleftrightarrow && (1, -1, 1) \end{aligned}$$

$$\Delta_{12} = 1 + X + \dots + X^{11} = \Phi_2 \times \Phi_3 \times \Phi_4 \times \Phi_6 \times \Phi_{12}$$

$$A(X) = \Phi_2 \times \Phi_3 \times \Phi_6 \times \Phi_{12} = 1 + X + X^4 + X^5 + X^8 + X^9$$

$$B(X) = \Phi_4 = 1 + X^2$$

$$A^*(X) = \Phi_2 \times \Phi_3 \times \Phi_{12}$$

$$B^*(X) = \Phi_4 \times \Phi_6$$

$$\rightarrow S = \{0, 2\}$$

$$\rightarrow R = \{0, 1, 4, 5, 8, 9\}$$

Cette décomposition ne marche pas

# Les conditions de Coven-Meyerowitz

- E. Coven & A. Meyerowitz : “Tiling the integers with translates of one finite set”, *J. Algebra*, 212, pp.161-174, 1999

There is no loss of generality in restricting attention to translates of a finite set  $A$  of nonnegative integers. Then  $A(x) = \sum_{a \in A} x^a$  is a polynomial such that  $\#A = A(1)$ . Let  $S_A$  be the set of prime powers  $s$  such that the  $s$ -th cyclotomic polynomial  $\Phi_s(x)$  divides  $A(x)$ . Consider the following conditions on  $A(x)$ .

$$(T1) \quad A(1) = \prod_{s \in S_A} \Phi_s(1).$$

(T2) If  $s_1, \dots, s_m \in S_A$  are powers of distinct primes, then  $\Phi_{s_1 \dots s_m}(x)$  divides  $A(x)$ .

$$A(X) = \Phi_2 \times \Phi_3 \times \Phi_6 \times \Phi_{12} = 1 + X + X^4 + X^5 + X^8 + X^9$$

$$\Phi_2(X) = 1 + X$$

$$\Phi_3(X) = 1 + X + X^2$$

$$A^*(X) = \Phi_2 \times \Phi_3 \times \Phi_{12}$$

$$(T1) \quad A(1) = 6 = \Phi_2(1) \times \Phi_3(1) = 2 \times 3$$

$$(T2) \quad \Phi_2 \mid A(X) \text{ et } \Phi_3 \mid A(X) \Rightarrow \Phi_{2 \times 3} \mid A(X)$$

# Les conditions de Coven-Meyerowitz

- E. Coven & A. Meyerowitz : “Tiling the integers with translates of one finite set”, *J. Algebra*, 212, pp.161-174, 1999

There is no loss of generality in restricting attention to translates of a finite set  $A$  of nonnegative integers. Then  $A(x) = \sum_{a \in A} x^a$  is a polynomial such that  $\#A = A(1)$ . Let  $S_A$  be the set of prime powers  $s$  such that the  $s$ -th cyclotomic polynomial  $\Phi_s(x)$  divides  $A(x)$ . Consider the following conditions on  $A(x)$ .

$$(T1) \quad A(1) = \prod_{s \in S_A} \Phi_s(1).$$

(T2) If  $s_1, \dots, s_m \in S_A$  are powers of distinct primes, then  $\Phi_{s_1 \dots s_m}(x)$  divides  $A(x)$ .

$$A(X) = \Phi_2 \times \Phi_3 \times \Phi_6 \times \Phi_{12} = 1 + X + X^4 + X^5 + X^8 + X^9$$

$$\Phi_2(X) = 1 + X$$

$$\Phi_3(X) = 1 + X + X^2$$

$$A^*(X) = \Phi_2 \times \Phi_3 \times \Phi_{12}$$

$$(T1) \quad A(1) = 6 = \Phi_2(1) \times \Phi_3(1) = 2 \times 3$$

$$(T2) \quad \Phi_2 \mid A(X) \text{ et } \Phi_3 \mid A(X) \Rightarrow \Phi_{2 \times 3} \mid A(X)$$

# Georges Bloch (2001-2004)

## Stratégies compositionnelles nouvelles à partir du modèle formel

- Organisation métrique d'un canon de pavage
- Réduction d'un canon de pavage en canons auto-similaires
- Modulation métrique entre canons
- *Transformation* d'un canon rythmique en « texture »

- *Projet Beyeler* (2001)
- *Projet Hitchcock*
- *Visite des tours de la cathédrale de Reims*
- *Noël des Chasseurs*
- *Canons à marcher*
- *Canon à eau*
- *Harawun* (2004)

harawun  $\text{♩} = 40$   
GB

Piano 1 *mf*

Piano 2 *f* *mf*

Cymbale *pp*

*mp* *pp* *f*

*Harawun*: L'entrée d'un canon RCCM modélisé sur *Harawi*

# Georges Bloch (2001-2004)

## Stratégies compositionnelles nouvelles à partir du modèle formel

The image displays a musical score for five instruments: Bb Cl., Sax. T., Vib., Vln., and Cb. The score is written in a complex, rhythmic style characteristic of Georges Bloch's late work. The notation includes numerous triplets, sixteenth notes, and slurs, indicating a dense and intricate texture. The instruments are arranged in a vertical stack, with the Bb Cl. and Sax. T. at the top, followed by the Vib., Vln., and Cb. at the bottom. The score is presented in a clean, black-and-white format with red labels for the instrument names on the left side of each staff.

*Canon Final* : transformation d'un canon rythmique en « texture »

# La dualité son/intervalles

## Séquences périodiques et différences finies

$$Df(x) = f(x) - f(x-1).$$

$$\begin{aligned}
 f &= 7 \ 11 \ 10 \ 11 \ 7 \ 2 \ 7 \ 11 \ 10 \ 11 \ 7 \ 2 \ 7 \ 11 \dots \\
 Df &= 4 \ 11 \ 1 \ 8 \ 7 \ 5 \ 4 \ 11 \ 1 \ 8 \ 7 \ 5 \ 4 \ 11 \dots \\
 D^2 f &= 11 \ 7 \ 2 \ 7 \ 11 \ 0 \ 11 \ 7 \ 2 \ 7 \ 11 \ 0 \dots \\
 D^3 f &= 1 \ 8 \ 7 \ 5 \ 4 \ 11 \ 1 \ 8 \ 7 \ 5 \ 4 \ 11 \dots \\
 D^k f &= \dots\dots
 \end{aligned}$$

*dolcissimo*  
*mf*      *mp*      *pp*      *mp*      *p*      *mf*      *mp*      *pp*      *pp*

V	0	3	8	7	11	0	11	10	6	9	0	9	1	2	9	8	4	3	6
VIII	0	0	0	0	3	3	7	2	0	0	0	6	3	3	3	4	8	0	0
IV	3	3	4	4	1	11	11	8	3	3	9	4	1	7	11	8	11	3	9
IX	0	0	0	0	0	3	6	(1)	3	3	3	3	9	0	3	6	[10]	6	6
IV	0	10	3	9	10	0	9	7	0	6	7	9	6	4	9	3	4	6	3

*Zone d'oubli* pour alto (1973)

# Actualité de la démarche algébrique

## Séquences périodiques et résultats 'structuraux'

$$f = 11\ 6\ 7\ 2\ 3\ 10\ 11\ 6\ \dots \quad Df(x) = f(x) - f(x-1).$$

$$Df = 7\ 1\ 7\ 1\ 7\ 1\ 7\ 1\ \dots$$

$$D^2 f = 6\ 6\ 6\ 6\ 6\ \dots$$

$$D^3 f = 0\ 0\ 0\ \dots$$

Séquences réductibles :  
 $\exists k \geq 1$  t.q.  $D^k f = 0$

$$f = 7\ 11\ 10\ 11\ 7\ 2\ 7\ 11\ \dots$$

$$Df = 4\ 11\ 1\ 8\ 7\ 5\ 4\ 11\ \dots$$

$$D^2 f = 11\ 7\ 2\ 7\ 11\ 0\ 11\ 7\ \dots$$

$$D^3 f = 1\ 8\ 7\ 5\ 4\ 11\ 1\ 8\ \dots$$

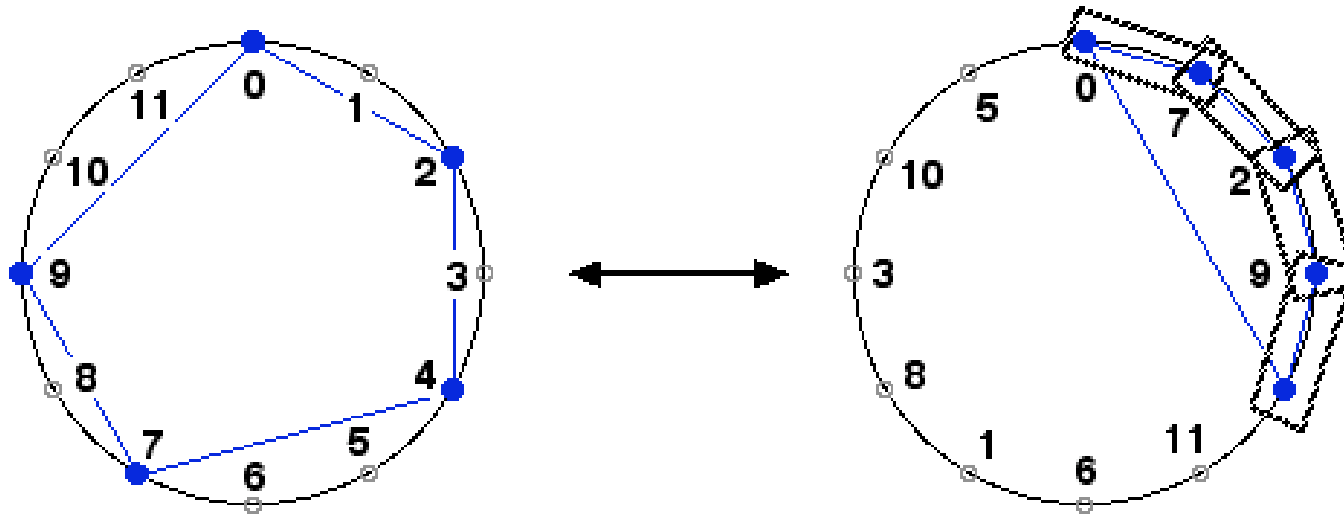
$$D^4 f = 7\ 11\ 10\ 11\ 7\ 2\ 7\ 11\ \dots$$

Séquences reproductibles :  
 $\exists k \geq 1$  s.t.  $D^k f = f$

**Théorème de décomposition:** Toute suite périodique à valeurs dans un groupe cyclique  $\mathbf{Z}/n\mathbf{Z}$  est décomposable (de façon unique) en une somme d'une suite réductible et d'une suite reproductible (Vuza/Andreatta, 2001)

# Dégré de 'diatonicité' des struct. intervalliques

La mesure « DIA/CHRO »



« DIA/CHRO » donne la mesure du rapport entre composantes diatoniques et composantes chromatiques

Quelles sont les structures intervalliques équilibrées (i.e.  $\text{DIA/CHRO}=1$ )?



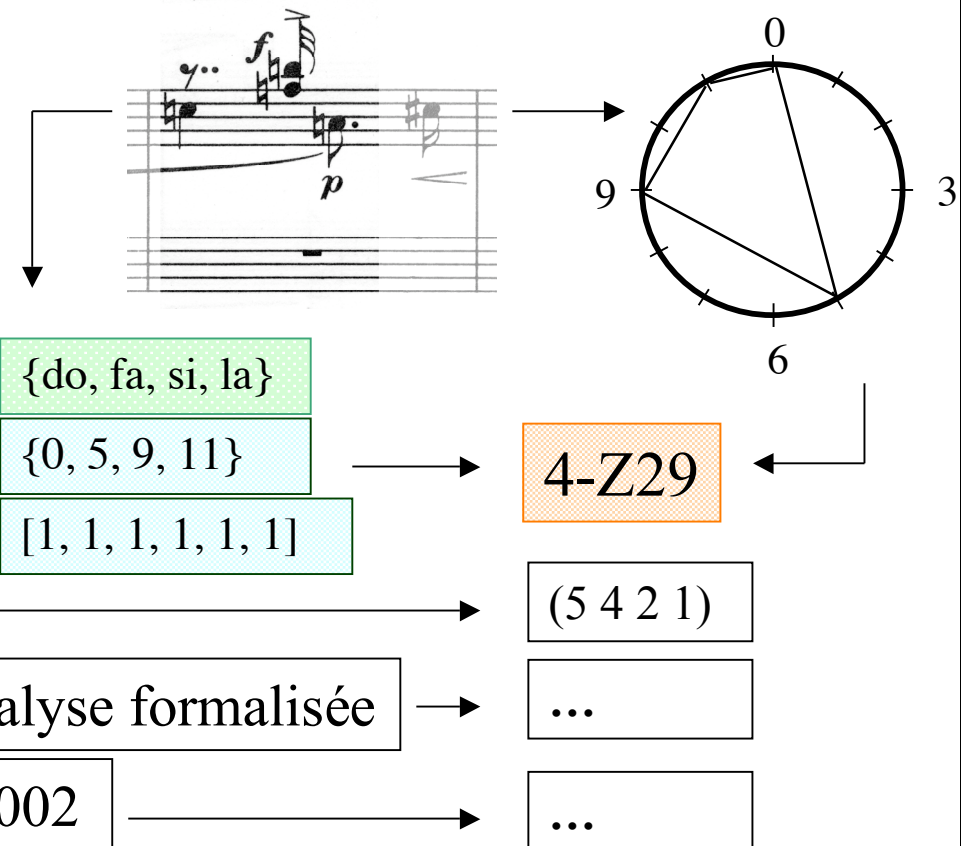
# Fonction et structure d'une théorie de la musique

« ...rendre possible d'un côté l'étude de la **structure** des systèmes musicaux [...] et la formulation des contraintes de ces systèmes dans une perspective compositionnelle [...] mais aussi, comme étape préalable, une terminologie adéquate [...] pour rendre possible et établir un **modèle** qui autorise des énoncés bien déterminés et vérifiables sur les œuvres musicales »

M. Babbitt : « The Structure and Function of Music Theory », 1965

## La Set Theory

- A. Forte : *The Structure of Atonal Music*, 1973.
- D. Lewin : *Generalized Musical Intervals and Transformation*, 1987
- A. Vieru : *The Book of modes*, 1993 (orig. 1980)
- A. Riotte, M. Mesnage : l'analyse formalisée
- E. Carter : *Harmony Book*, 2002



# L'analyse formalisée ou les « entités formelles » en musique

*André Riotte et Marcel Mesnage*

A. Schoenberg : *Klavierstück Op. 33a*, 19??

The image displays a musical score for A. Schoenberg's *Klavierstück Op. 33a*. The score is written on two staves (treble and bass clefs) in 4/4 time. Several specific musical phrases are highlighted with colored boxes: blue rounded rectangles, yellow diamonds, and light blue dotted rectangles. Dashed arrows connect these highlighted phrases to a series of six circular diagrams below the score. Each diagram is a circle divided into 12 segments, with numbers 1 through 11 and 0 (representing the octave) placed around the perimeter. A thick black line is drawn across each circle, representing a specific chord or intervallic structure. Below each diagram are two rows of numbers: the first row contains two pairs of numbers (e.g., 11 0 | 1), and the second row contains six numbers (e.g., 1 2 5 6). The diagrams are arranged in a row, with a vertical dashed line separating the first three from the last three.

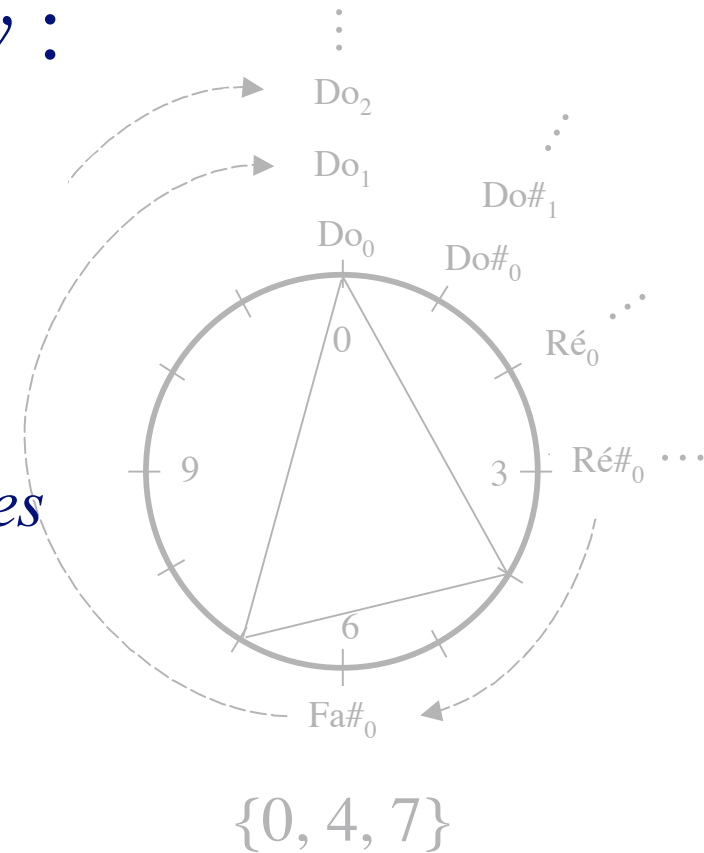
0-5511 (1 2 5 6)	9-4233 (2 3 4 5 6)	8-6231 (1 2 3 4 5 6)	11-6132 (1 2 3 4 5 6)	0-4332 (2 3 4 5 6)	3-5511 (1 2 5 6)
---------------------	-----------------------	-------------------------	--------------------------	-----------------------	---------------------

# Les principes de base de la *Set Theory* : une introduction

*Set Theory* « classique » et  
Approches Transformationnelles

Moreno Andreatta  
Stéphan Schaub

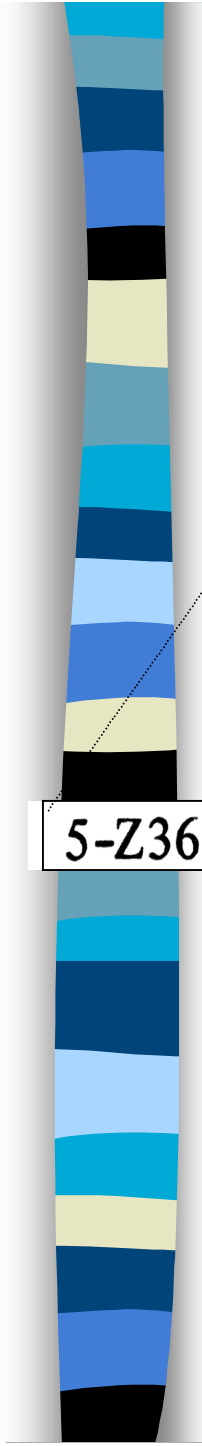
*Colloque international*  
Autour de la *Set Theory*



Résonances 2003

# Le catalogue des *pcs* d'Allen Forte

---



5-Z36      0,1,2,4,7      222121

7-Z36      0,1,2,3,5,6,8      444342

# Ensemble (littéral) de Classes de Hauteurs (ECH) (Literal) pitch class set (pcs)

A. Schoenberg *Sechs kleine Klavierstücke* op. 19 no. 4, 1911 (Forte 2003)



**A**

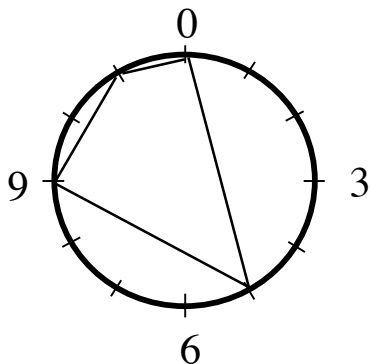
m. 2



{do, fa, si, la}

{0, 5, 11, 9}

{0, 5, 9, 11}



**B**

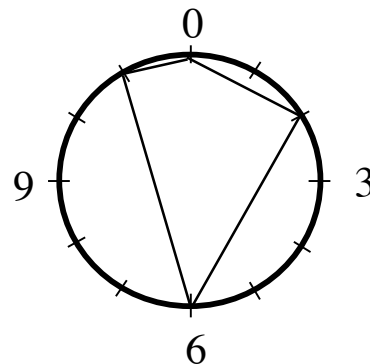
m. 5



{si, do, ré; fa#}

{11, 0, 2; 6}

{0, 2, 6, 11}



**C**

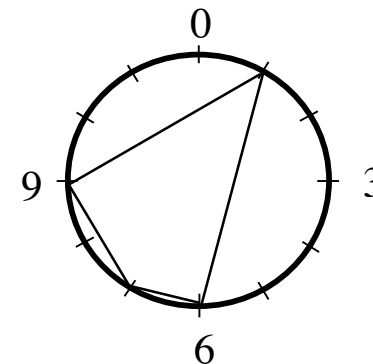
m. 8



{sol, la, fa#, do#}

{7, 9, 6, 1}

{1, 6, 7, 9}



# Classes d'Intervalles et Contenu Intervallique d'un ECH (2)

## *Interval Classes and Interval Content of a pcs*

Le **vecteur IFUNC** (Lewin) répertorie la fréquence d'apparition des classes d'intervalles contenues dans un ECH.

$$\text{IFUNC}(A, A) = [4 \ 1 \ 1 \ 1 \ 1 \ 1 \ 1 \ 1 \ 1 \ 1 \ 1 \ 1 \ 1]$$

$\begin{matrix} \nearrow & \nearrow & \nearrow & & \nearrow \\ \text{ci } 0 & \text{ci } 1 & \text{ci } 2 & \dots & \text{ci } 11. \end{matrix}$

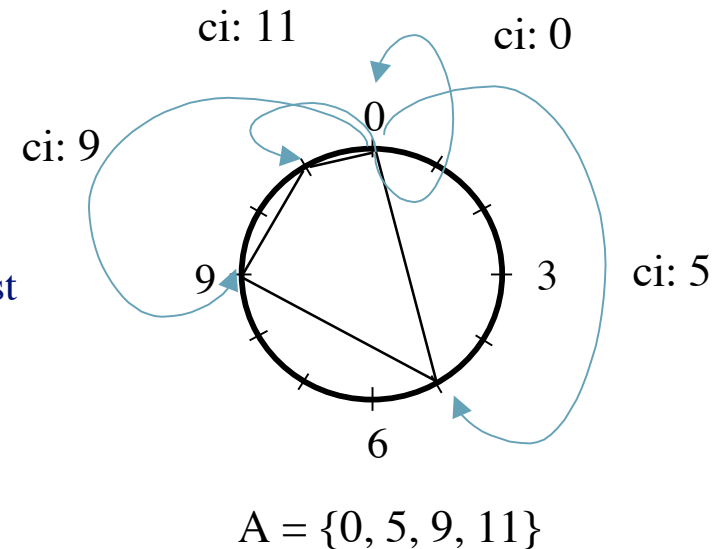
Au sein de la théorie « classique », l'information est encore condensée, puisqu'un intervalle et son inverse sont considérés comme faisant partie de la même « classe ».

seconde mineure / septième majeure: 1,  
 seconde majeure / septième mineure: 2  
 ... triton: 6.

Le **vecteur intervallique** (Forte) répertorie la fréquence d'apparition des classes d'intervalles contenues dans un ECH, selon la définition ci-dessus.

$$\text{VI}(A) = [1 \ 1 \ 1 \ 1 \ 1 \ 1]$$

$\begin{matrix} \nearrow & \nearrow & \nearrow & \nearrow \\ \text{ci } 1 & \text{ci } 2 & \text{ci } 3 & \dots & \text{ci } 6. \end{matrix}$



# Classes d'Intervalles et Contenu Intervallique d'un ECH

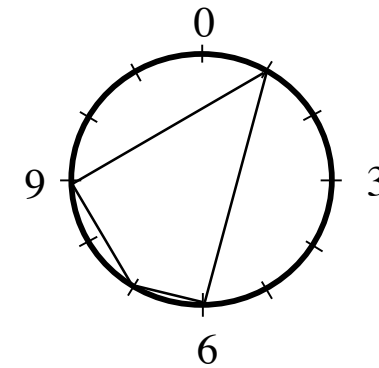
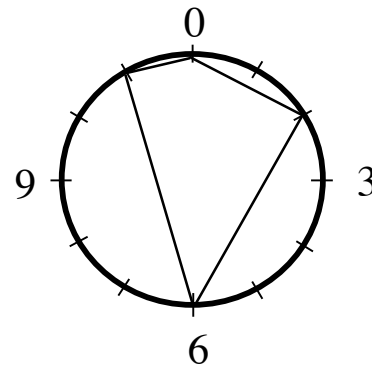
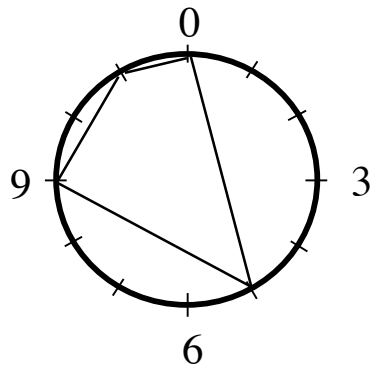
## *Interval Classes and Interval Content of a pcs*



**A**

**B**

**C**



**SI:** (5, 4, 2, 1)

(2, 4, 5, 1)

(5, 1, 2, 4)

**IFUNC:** [4 1 1 1 1 1 1 1 1 1 1 1 1 1 1 1]

[4 1 1 1 1 1 1 1 1 1 1 1 1 1 1 1]

[4 1 1 1 1 1 1 1 1 1 1 1 1 1 1 1]

**VI:** [1 1 1 1 1 1 1]

[1 1 1 1 1 1 1]

[1 1 1 1 1 1 1]

(Retrouver les transformations)

# Transformations d'ECH : la Transposition

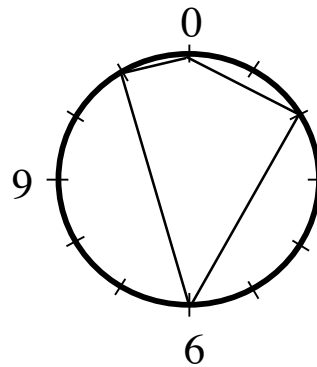
## *Pcs Transformations : Transposition*



**B**

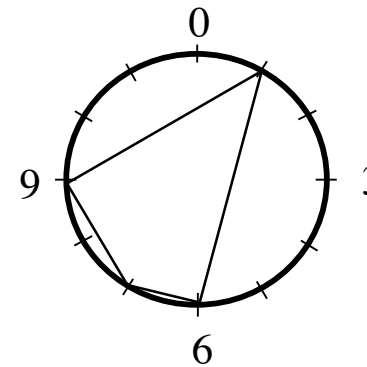
*leicht* *pp*

{0, 2, 6, 11}



**C**

{1, 6, 7, 9}



$T_7(B) = C$



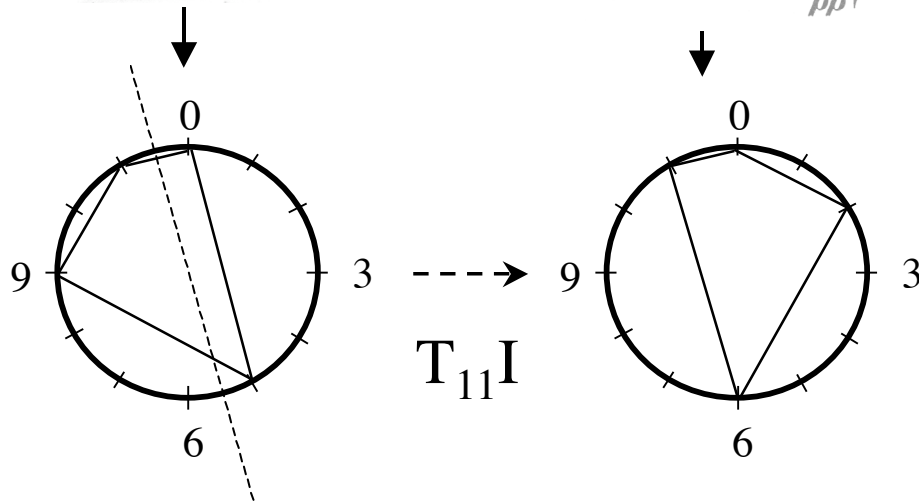
# Transformations d'ECH : l'Inversion

*Pcs Transformations : Inversion*



**A**

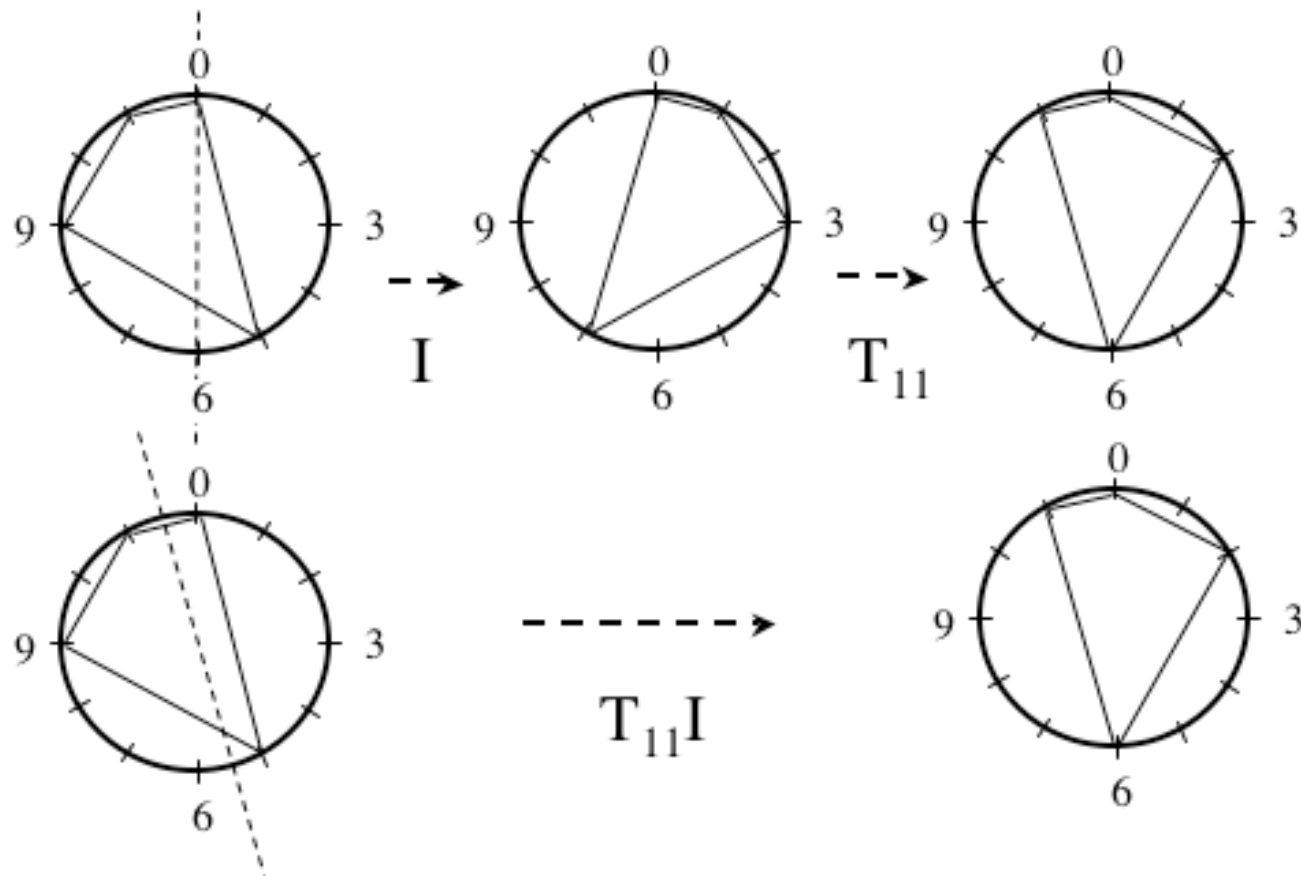
**B**



$$T_{11}I(A) = B$$

# Transformations d'ECH : Inversion et Transposition

*Pcs Transformations : Inversion and Transposition*

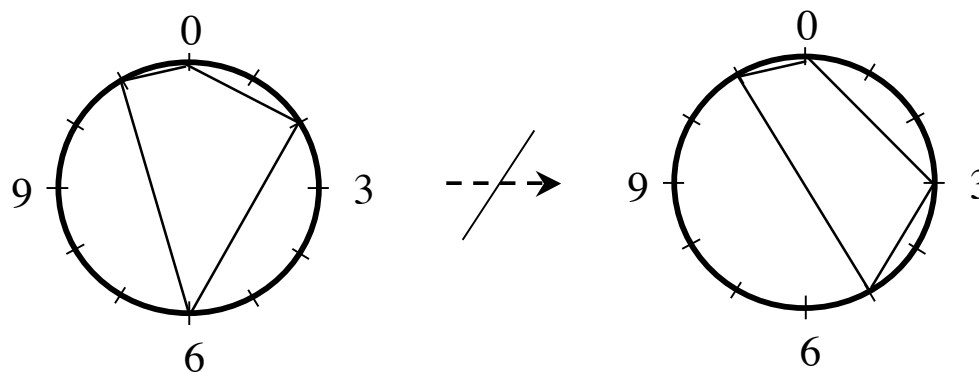


# La Relation z

## Z-relation

---

La transposition autant que l'inversion laissent le contenu intervallique d'un ECH inchangé. En d'autres termes, si un ECH B est le transformé par inversion et / ou transposition d'un ECH A, alors A et B ont le même contenu intervallique.

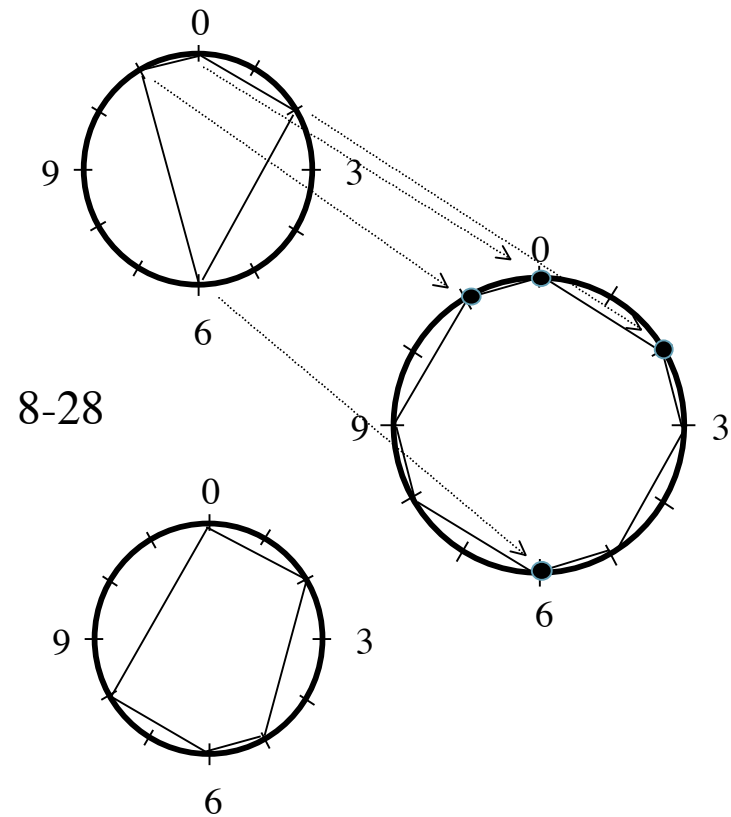
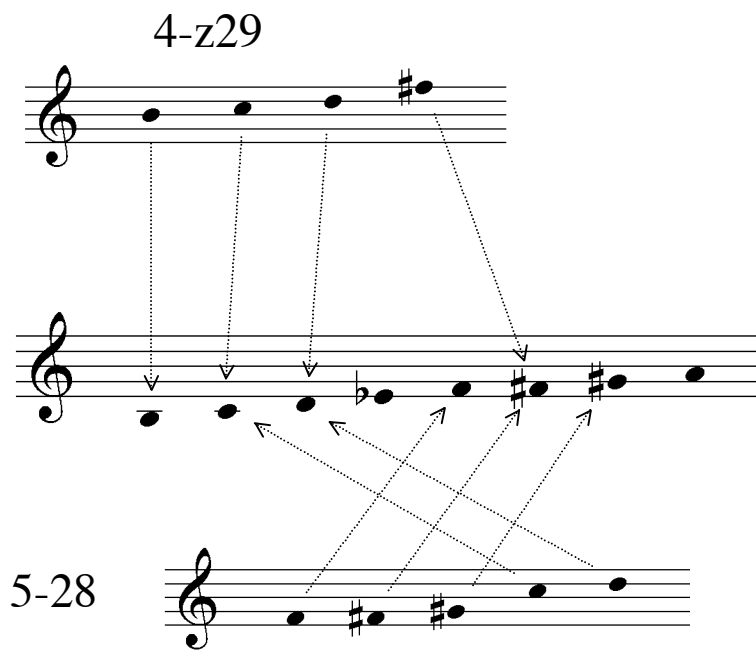


**VI:** [1 1 1 1 1 1]  $\dashrightarrow$  [1 1 1 1 1 1]

La proposition inverse n'est pas vraie.

# Relations entre ECH: l'inclusion littérale

*Relations between pcs: literal inclusion*



$$4-z29 \subset 8-28$$

$$5-28 \subset 8-28$$

# Relations entre ECH: l'inclusion abstraite

*Relations between pcs: abstract inclusion*

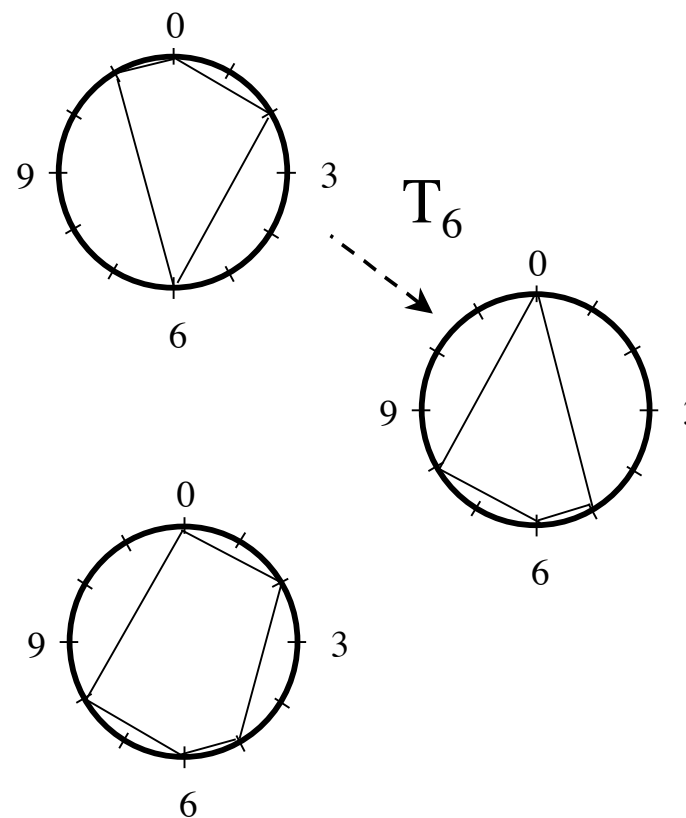
4-z29

$T_6$

4-z29

5-28

Detailed description: This block contains three musical staves. The top staff shows a 4-z29 chord (F4, G4, A4, B4) on a treble clef staff. A dashed arrow labeled  $T_6$  points down to the middle staff, which shows the same 4-z29 chord (F4, G4, A4, B4) but with a different voicing (F4, G4, B4, A4). Dotted lines from the notes in the middle staff point down to the bottom staff, which shows a 5-28 chord (F4, G4, A4, B4, C5) on a treble clef staff. This illustrates that the 4-z29 chord is a subset of the 5-28 chord.



$$4-z29 \subset 5-28 \subset 8-28$$

# Relations entre ECH: le complémentaire littérale

*Relations between pcs: literal complement*

A. Webern *Fünf Stücke* op. 10 no. 4, 1913 (Forte 1973 / Lewin 1987)

The image displays a musical score for Webern's *Fünf Stücke* op. 10 no. 4. The score consists of two staves, with the upper staff in treble clef and the lower staff in bass clef. Three specific pitch classes are highlighted with arrows pointing to their corresponding sets: H, H', and H''.

$H = \{0, 1, 2, 5, 6, 8\}$      $H' = \{3, 4, 7, 9, 10, 11\}$      $H'' = \{2, 3, 4, 8, 10, 11\}$

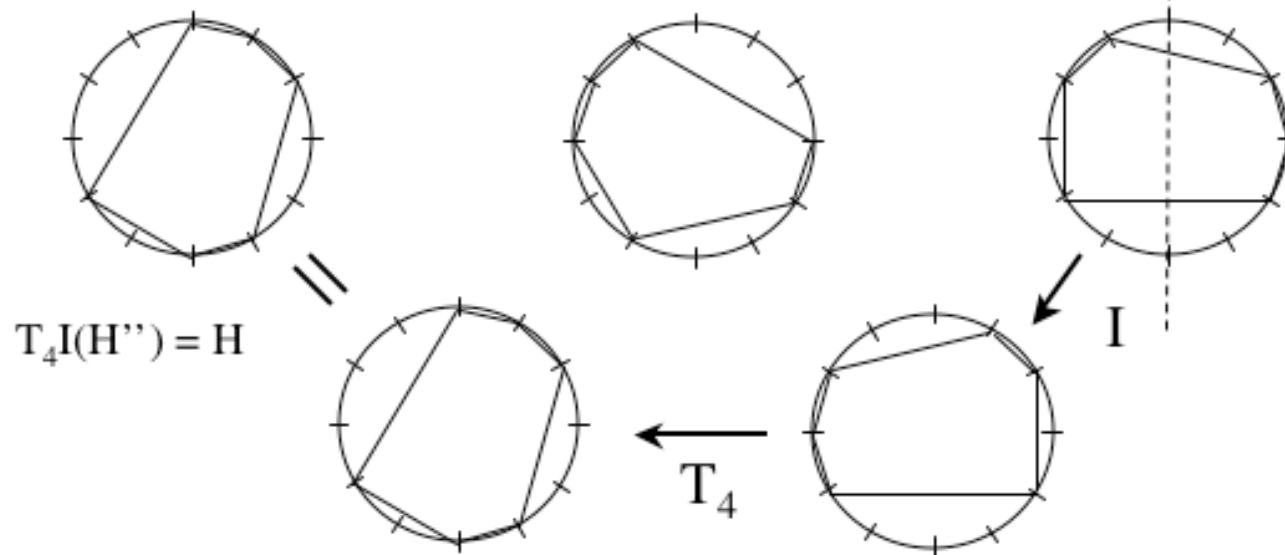
Below the sets are three circular pitch class diagrams (chromatic circles) illustrating the relationships between these sets. The first diagram shows the set H as a hexagon. The second diagram shows the set H' as a hexagon, with dashed lines and arrows indicating its relationship to H. The third diagram shows the set H'' as a hexagon, with dashed lines and arrows indicating its relationship to H and H'.

# Relations entre ECH: le complémentaire abstrait

*Relations between pcs: abstract complement*



$H = \{0, 1, 2, 5, 6, 8\}$      $H' = \{3, 4, 7, 9, 10, 11\}$      $H'' = \{2, 3, 4, 8, 10, 11\}$





# L 'approche transformationnelle

## *Transformation(al) Theory/Analysis*

---

### 1. GIS = *Generalized Interval System*

↙ ↘  
Système d'Intervalles Généralisées  
Système Généralisé d'Intervalles

### 2. *Set Theory* généralisée

Fonction intervallique (IFUNC)

Fonction injection (INJ)

Théorème généralisé de l'hexacorde

### 3. Analyse transformationnelle

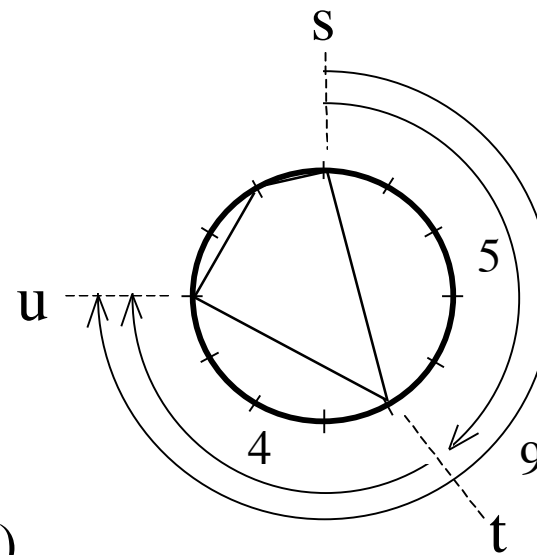
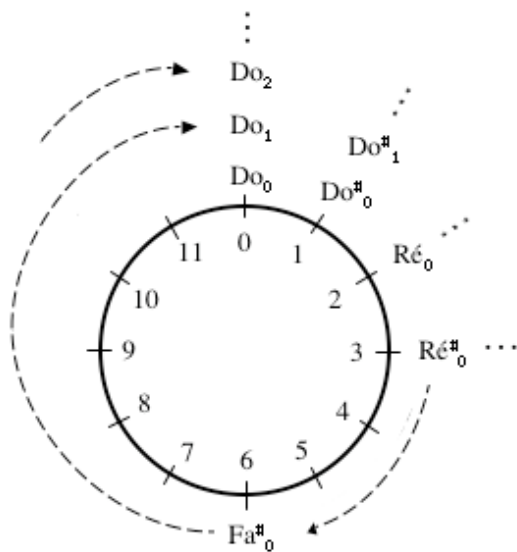
Progressions transformationnelles

Réseaux transformationnels

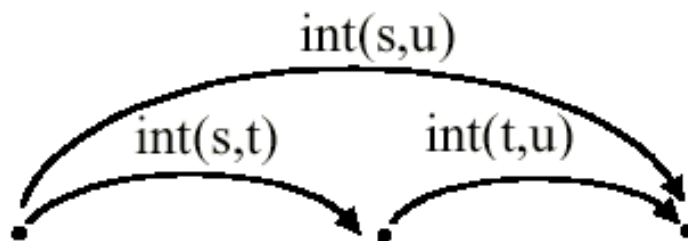


# Vers un Système d'Intervalles Généralisés

## *Towards a Generalized Interval System*



(5, 4, 2, 1)



# Systeme d'Intervalles Généralisés/Systeme Généralisé d'Intervalles

## Generalized Interval System

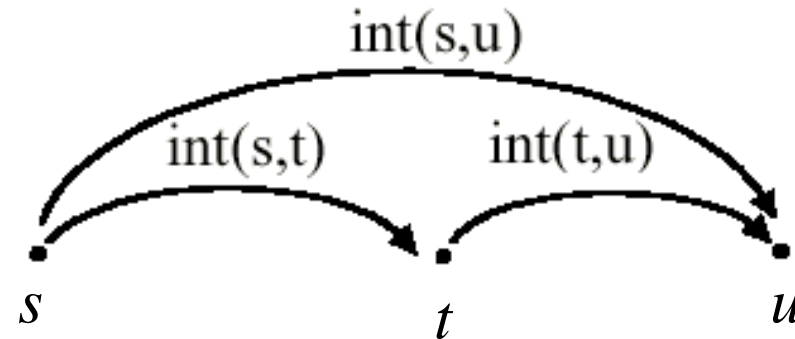
$$\text{GIS} = (S, G, \text{int})$$

$S$  = ensemble

$(G, \bullet)$  = groupe d'intervalles

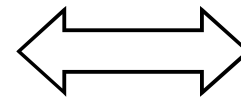
$\text{int}$  = fonction intervallique

$$S \times S \dashrightarrow G$$



1. Pour tout objets  $s, t, u$  dans  $S$  :  
 $\text{int}(s,t) \bullet \text{int}(t,u) = \text{int}(s,u)$

2. Pour tout objet  $s$  dans  $S$  et tout intervalle  $i$  dans  $G$  il y a un seul objet  $u$  dans  $S$  tel que  $\text{int}(s,u) = i$



**ACTION**  
simplement  
transitive  
d'un groupe  
sur un  
ensemble

# Fonction Intervallique IFUNC dans un GIS

*Interval Function IFUNC in a GIS*

---

GIS = (S, G, int)

S ensemble

H et H' dans S

H



H'

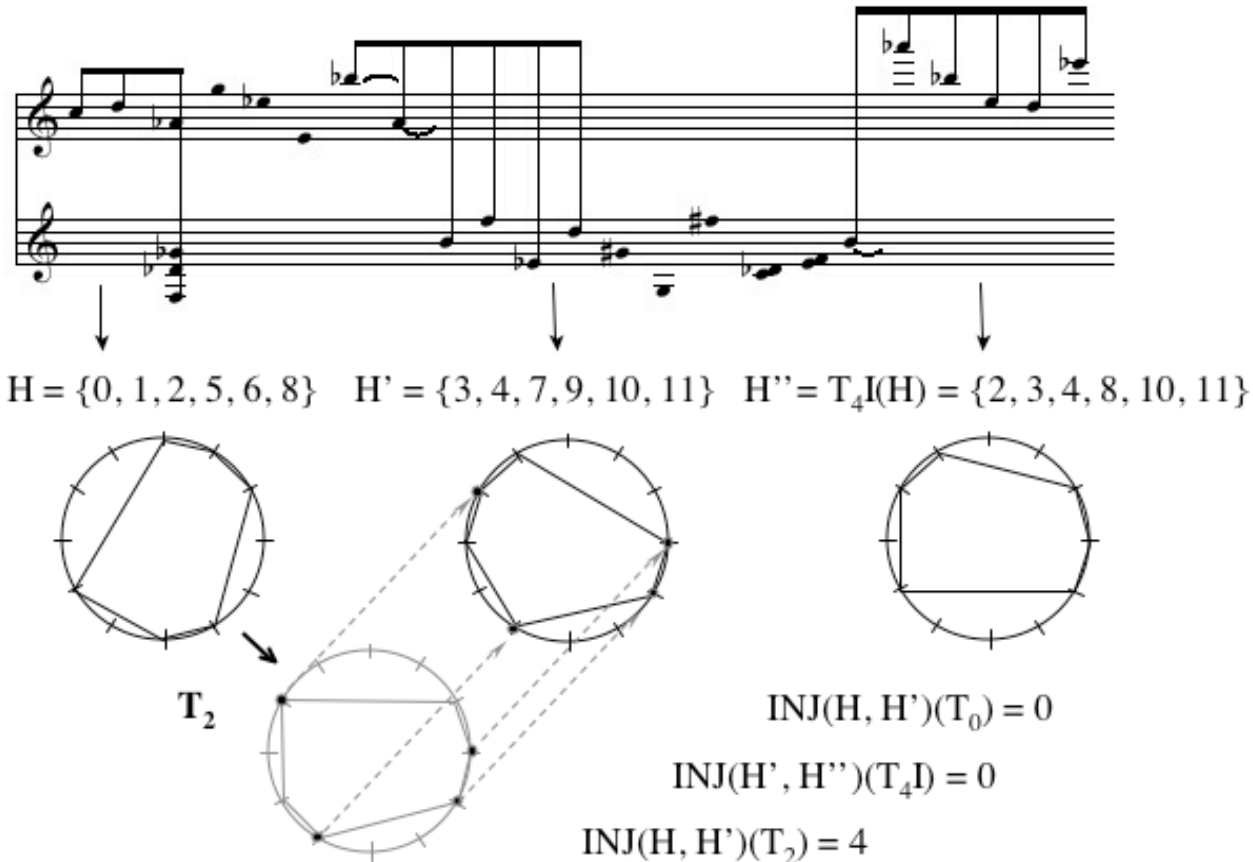


$IFUNC(H, H')(i) = \text{nombre d'éléments } (a,b) \text{ dans } H \times H' \text{ tels que } \text{int}(a,b)=i$

$$IFUNC(H, H')(2) = 4$$

# Fonction d'Injection et relation d'inclusion/complémentaire

## *Injection function and the inclusion/complementary relation*



$INJ(H, H')(T_n) = \text{nombre d'éléments } a \text{ de } H \text{ tels que } T_n(a) \in H'$

# Fonction d'Injection INJ et Fonction Intervallique IFUNC

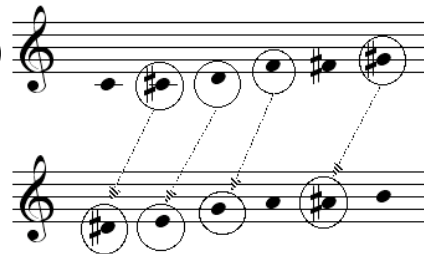
## *Injection Function and IFUNC*

GIS =  $(S, G, \text{int})$

$S$  ensemble

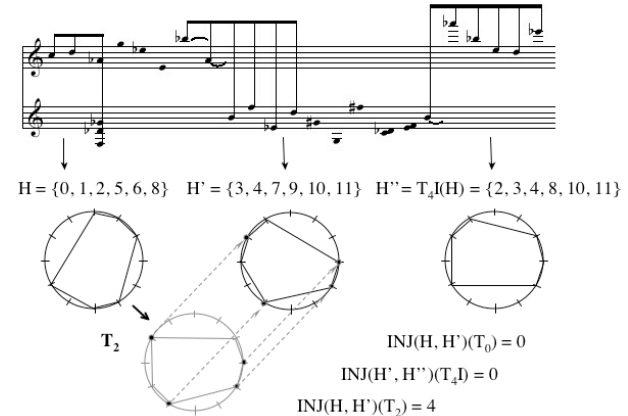
$A$  et  $B$  dans  $S$

$f$  transformation sur  $S$



?

<-->



$\text{INJ}(A, B)(f) =$  nombre d'éléments  $a$  de  $A$  tels que  $f(a)$  appartient à  $B$

?

←-----

-----→

$\text{IFUNC}(A, B)(i) =$  nombre d'éléments  $(a, b)$  de  $A \times B$  tels que  $\text{int}(a, b) = i$



## Fonction d 'Injection, IFUNC et système dodécaphonique

*Injection Function, IFUNC and the twelve-tone system*

---

« Here the basic hierarchical scope of the (twelve-tone) system is contained essentially in the simple theorem that:

Given a collection of pitches (pitch classes), the multiplicity of occurrence of any interval (...) determines the number of common pitches between the original collection and the transposition by the interval »

(Milton Babbitt, *Past and Present Concepts*, 1961)

$$\text{INJ}(A,B)(T_i) = \text{IFUNC}(A,B)(i)$$



## Fonction d 'Injection, IFUNC et théorie transformationnelle

*Injection Function, IFUNC and transformational theory*

---

« ...on peut remplacer entièrement le concept d'intervalle dans un GIS avec le concept de transposition dans un espace »

« ...on peut remplacer le concept même de GIS avec l'idée d'un espace S sur lequel on a un groupe d'opérations qui opère »

(David Lewin, *Generalized Musical Intervals and Transformations*, 1987)

$$\text{INJ}(A,B)(T_i) = \text{IFUNC}(A,B)(i)$$



## Théorème généralisé de l'hexacorde

*Generalized Hexachord Theorem*

---

« Un hexacorde et son complémentaire ont le même contenu intervallique »

$$\text{IFUNC}(A, A)(i) = \text{IFUNC}(A', A')(i)$$

« Un hexacorde et son complémentaire ont la même fonction d'injection par rapport à toute transformation bijective »

$$\text{INJ}(A, A)(f) = \text{INJ}(A', A')(f)$$

$$\text{INJ}(A, A')(f) = \text{INJ}(A', A)(f)$$





## Horizons philosophique d'une démarche structurale en musique

*G.-G. Granger et la dualité de l'objectal et de l'opérateur*

---

- « *Pygmalion. Réflexions sur la pensée formelle* », 1947
- *Pour la connaissance philosophique*, 1988
- *Formes, opérations, objets*, 1994

« [C'est la notion de groupe qui] donne un sens précis à l'idée de structure d'un ensemble [et] permet de déterminer les éléments efficaces des transformations en réduisant en quelque sorte à son schéma opératoire le domaine envisagé. [...] L'objet véritable de la science est le **système des relations** et non pas les termes supposés qu'il relie. [...] Intégrer les résultats - symbolisés - d'une **expérience** nouvelle revient [...] à créer un canevas nouveau, un **groupe de transformations** plus complexe et plus compréhensif »

G.-G. Granger : « *Pygmalion. Réflexions sur la pensée formelle* », 1947



## Horizons philosophique d'une démarche structurale en musique

*J. Piaget: de la théorie des groupes à la théorie des catégories*

---

- *Le structuralisme*, 1968
- *Morphismes et Catégories. Comparer et transformer* (avec G. Henriques, E. Ascher 1990)

« ...**attitude relationnelle**, selon laquelle ce qui compte [sont] les relations entre les éléments, autrement dit les procédés ou processus de composition [...] La structure [de **groupe**] se referme sur elle-même, mais cette fermeture ne signifie en rien que la structure considérée ne peut pas entrer à titre de sous-structure dans une structure plus large »

« De même qu'en mathématique le structuralisme des Bourbaki est déjà doublé par un mouvement faisant appel à des **structures plus dynamiques** (les « catégories » [...]) de même toutes les formes actuelles du structuralisme [...] sont certainement grosses de développements multiples... »



# Retombées perceptives de l'approche algébrique

## *De la théorie des groupes à la théorie des catégories*

---

- E. Cassirer : « The concept of group and the theory of perception », 1944
- G. Balzano : « The group-theoretic description of 12-fold and microtonal pitch systems », 1980

La question de la **ressemblance perceptive** entre différentes transpositions d'un même profil mélodique est liée « à un problème beaucoup plus général, un problème qui concerne les mathématiques abstraites »

E. Cassirer : « The concept of group and the theory of perception », 1944

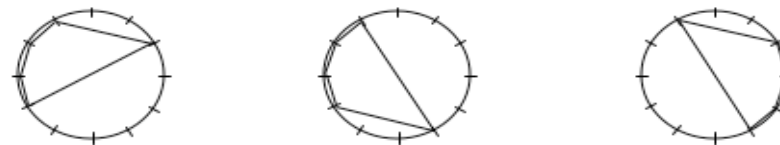
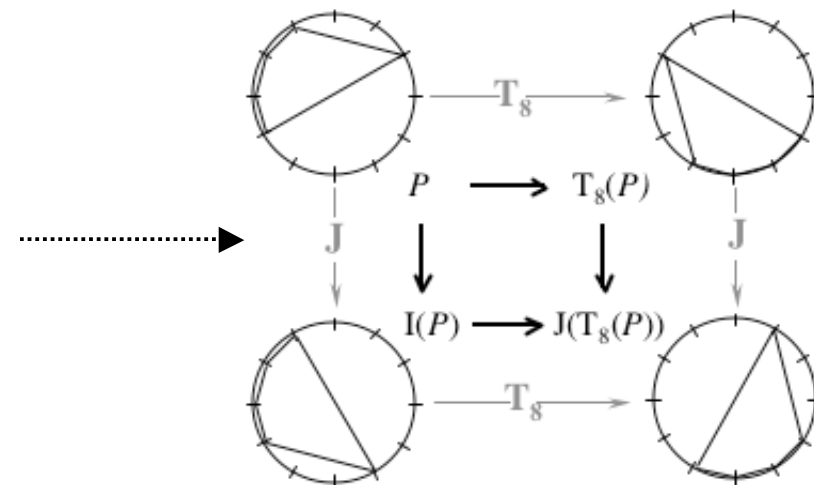
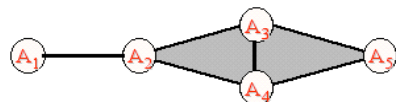
*« Le caractère singulier de l'expérience musicale est dû en partie aux structures particulières de **groupe** que la musique rend accessible à l'auditeur »*

G. Balzano : « The group-theoretic description of 12-fold and microtonal pitch systems », 1980

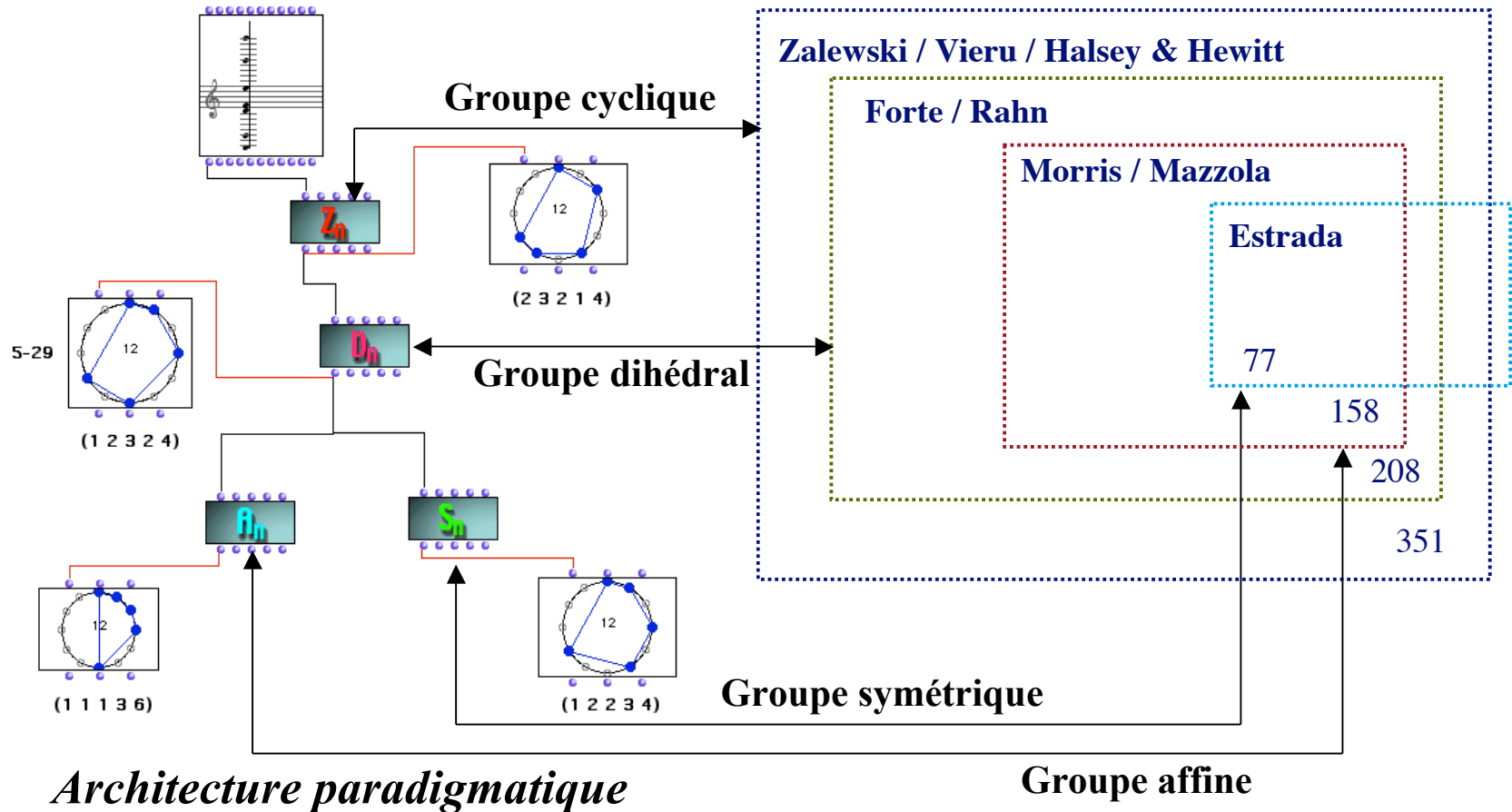
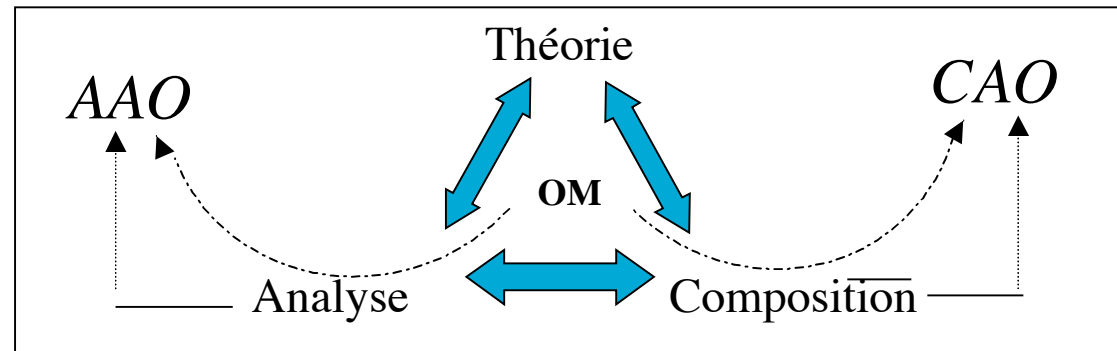
# Set Theory, analyse transformationnelle et théorie des catégories

## Stockhausen's *Klavierstück III* (Analyse de David Lewin, 1992)

**SI:** (1, 1, 1, 3, 6)      (6, 3, 1, 1, 1)      (6, 3, 1, 1, 1)  
**IFUNC:** [5 3 2 2 1 1 1 1 1 2 2 3]    [5 3 2 2 1 1 1 1 1 2 2 3]    [5 3 2 2 1 1 1 1 1 2 2 3]  
**VI:** [3 2 2 1 1 1]      [3 2 2 1 1 1]      [3 2 2 1 1 1]

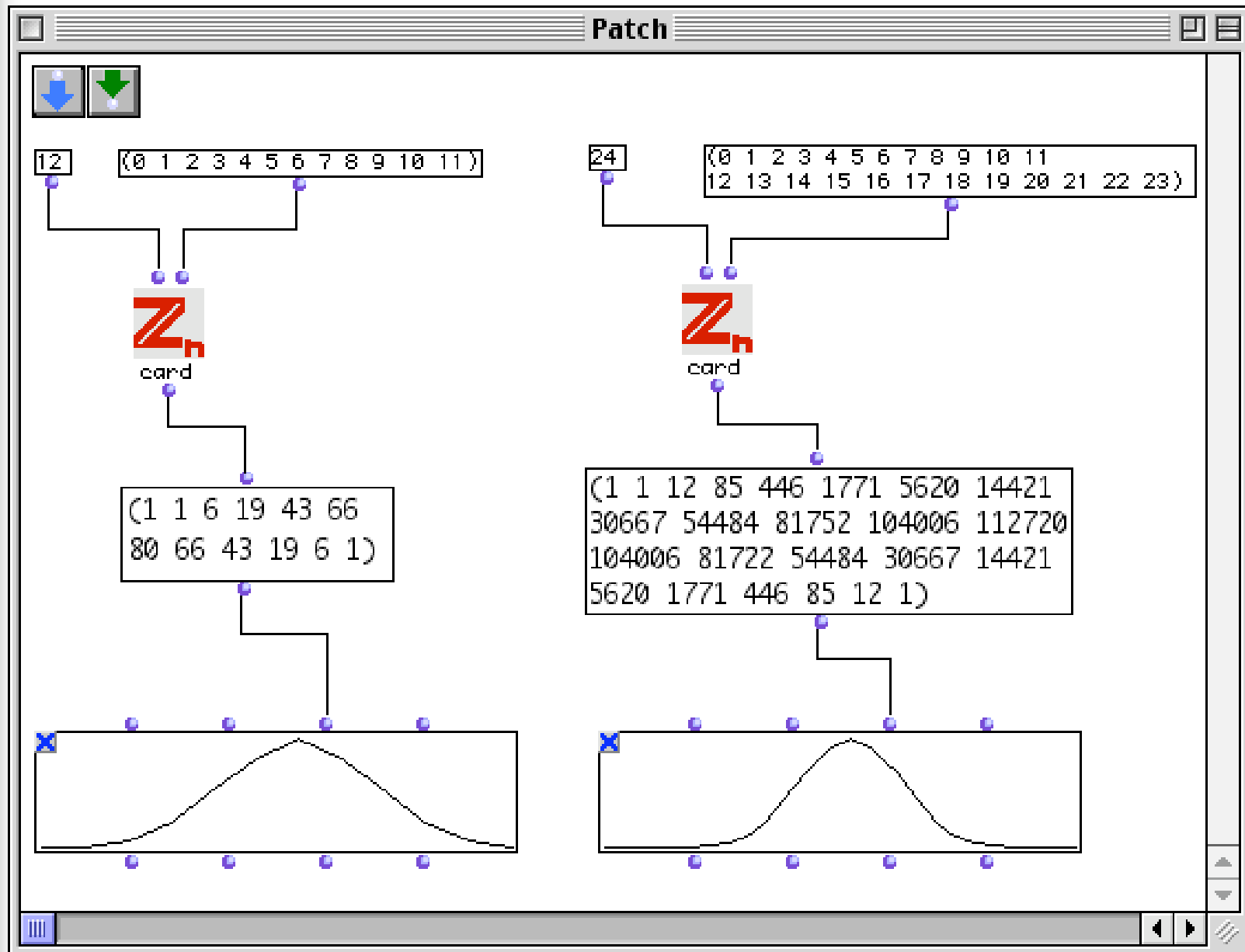



# Classification 'paradigmatique' des structures musicales



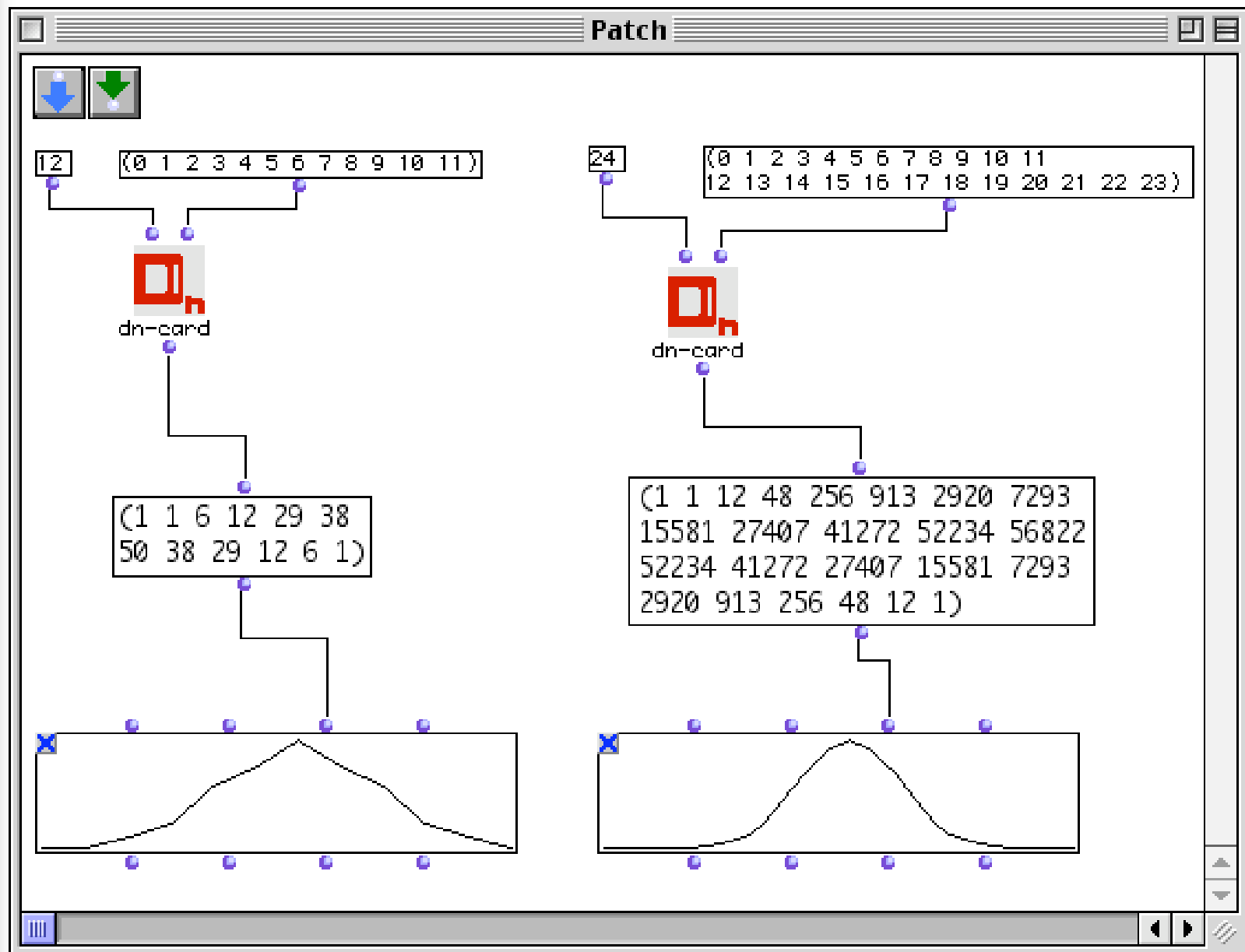
# Computational aspects

## *Enumeration of transposition classes in a tempered space $\mathbb{Z}/n\mathbb{Z}$*

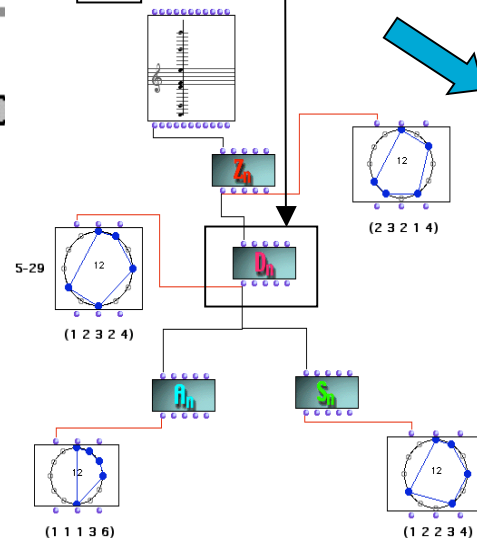
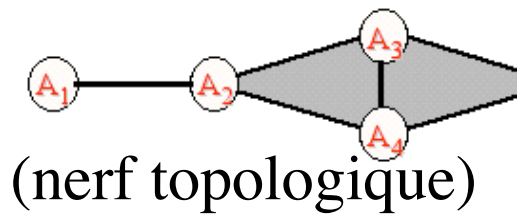
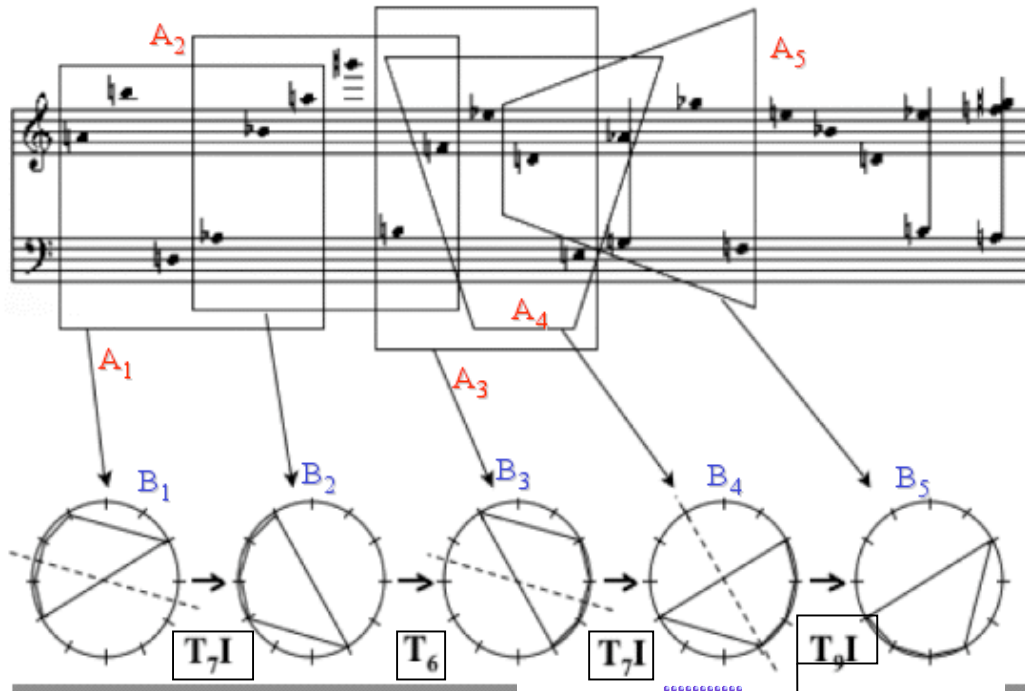


# Computational aspects

## *Enumeration of transposition classes in a tempered space $D_n$*



# Retombées de l'analyse transformationnelle



## Mathématiques

- Transformations et typologies d'accords

## Épistémologie

- Segmentation
- Équivalence
- Transformations

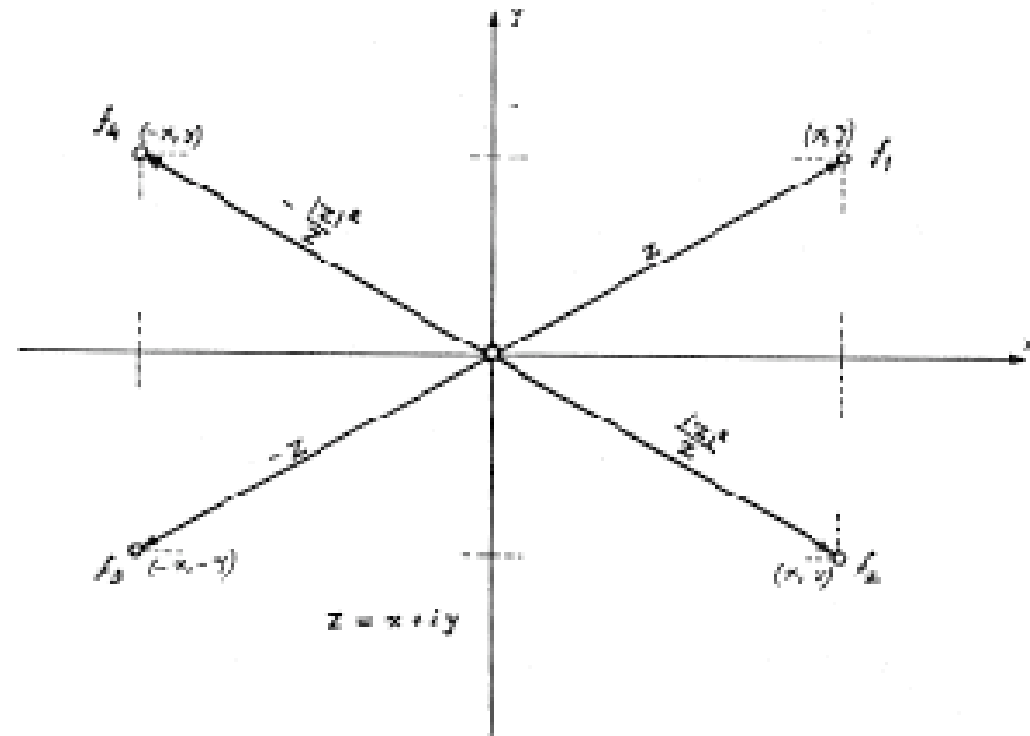
## Philosophie

- Dualité objet/opération
- Dualité local/global
- Les universaux



# Algèbre/géométrie chez Xenakis

	S	I	R	R
S	S	I	R	R
I	I	S	RI	R
R	R	RI	S	I
RI	RI	R	I	S



$$Z = x + yi$$

- S série de base  $\longrightarrow f_1 = Z = x + yi = Z = f_1(Z) = \text{original form}$
- I inversion  $\longrightarrow f_2 = x - yi = |Z|^{-1} Z = f_2(Z) = \text{inversion}$
- RI rétrog. inverse  $\longrightarrow f_3 = -x - yi = -Z = f_3(Z) = \text{inverted retrogradation}$
- R rétrogradation  $\longrightarrow f_4 = -x + yi = -( |Z|^{-1} \bar{Z} ) = f_4(Z) = \text{retrogradation}$

# Axiomatique et théorie des groupes en musique

« La musique peut [...] être définie comme une organisation d'**opérations** et de **relations** élémentaires entre des êtres ou entre des fonctions d'êtres sonores. Nous comprenons la place de choix qui revient à la **théorie des ensembles**, non seulement pour la **construction** d'œuvres nouvelles, mais aussi pour l'**analyse** et la meilleure compréhension des œuvres du passé. Ainsi, même une construction stochastique ou une investigation de l'histoire à l'aide de la stochastique ne peuvent être exploitées sans l'aide de la reine des sciences et même des arts, dirais-je, qu'est la logique ou sa forme mathématique l'**algèbre** »

I. Xenakis : « La musique stochastique : éléments sur les procédés probabilistes de composition musicale » 1961.

« La **formalisation** et l'**axiomatisation** constituent en réalité un guide processionnel plus adapté à la pensée moderne en général. Elle permet de placer d'emblée sur un terrain plus **universel** l'art des sons... »

I. Xenakis : *Musiques formelles*, 1963

« Aujourd'hui, on peut affirmer qu'avec les vingt-cinq siècles d'évolution musicale, on aboutit à une **formulation universelle** en ce qui concerne la **perception** des hauteurs, qui est la suivante: l'ensemble des intervalles mélodiques est muni d'une structure de **groupe** avec comme loi de composition l'**addition** »

I. Xenakis : « La voie de la recherche et de la question », 1965

# Théorie des cribles: algèbre et structures ordonnées

modulo

1<sub>0</sub>

origine

... -3 -2 -1 0 1 2 3 4 5 6 7 8 ...

$6_0 \cup 6_1 \cup 3_2$

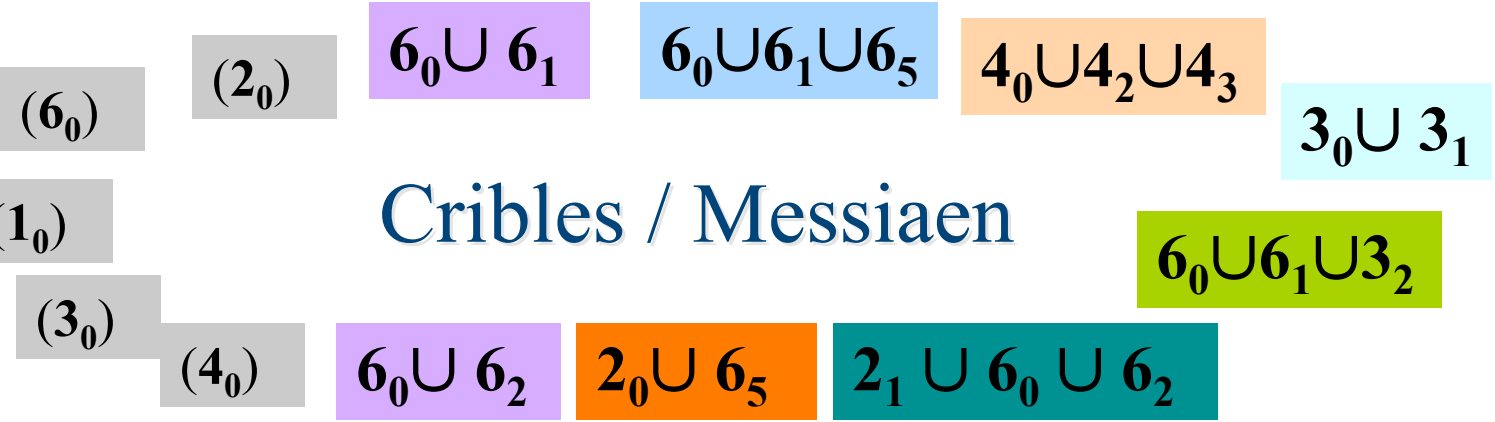
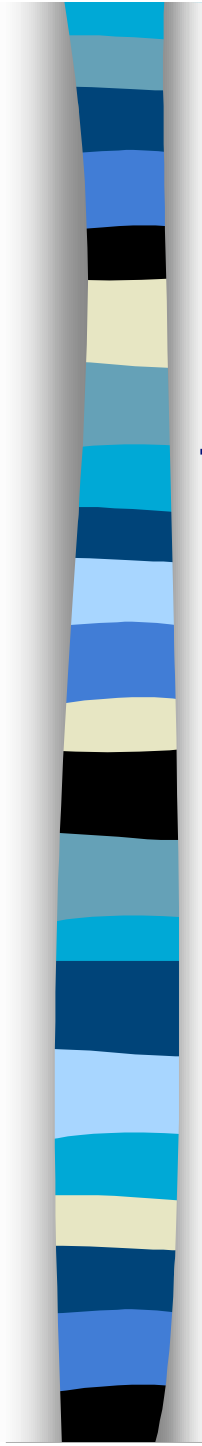
3<sub>2</sub>

6<sub>1</sub>

6<sub>0</sub>

*Mode à transposition limitée de Messiaen*

- Gammes traditionnelles (diatoniques, Modes de Messiaen, ...)
- Gammes micro-tonales et non octaviantes (*Nomos Alpha*, ...)
- Cribles comme généralisation de rythmes (*Psappha*, ...)
- Cribles comme outil de modélisation des partitions (Riotte&Mesnage)



# Cribles / Messiaen

4<sub>0</sub> ∪ 4<sub>1</sub>

6<sub>0</sub> 6<sub>1</sub> 3<sub>2</sub>

Trois modes 'oubliés'

6<sub>0</sub> 6<sub>1</sub> 6<sub>3</sub>

6<sub>0</sub> ∪ 6<sub>1</sub> ∪ 6<sub>3</sub>

6<sub>0</sub> 6<sub>3</sub> 6<sub>5</sub>

6<sub>0</sub> ∪ 6<sub>3</sub> ∪ 6<sub>5</sub>

# Pitch/Rhythm Isomorphism (Xenakis)

« [With the sieve theory] one can build very complex *rhythmic architectures* which can simulate the stochastic distribution of points on a line if the period is big enough »

(« Redécouvrir le temps », éditions de l'Université de Bruxelles, 1988)

$$A = (13_3 \cup 13_5 \cup 13_7 \cup 13_9)^c$$

$$B = 11_2$$

$$C = (11_4 \cup 11_8)^c$$

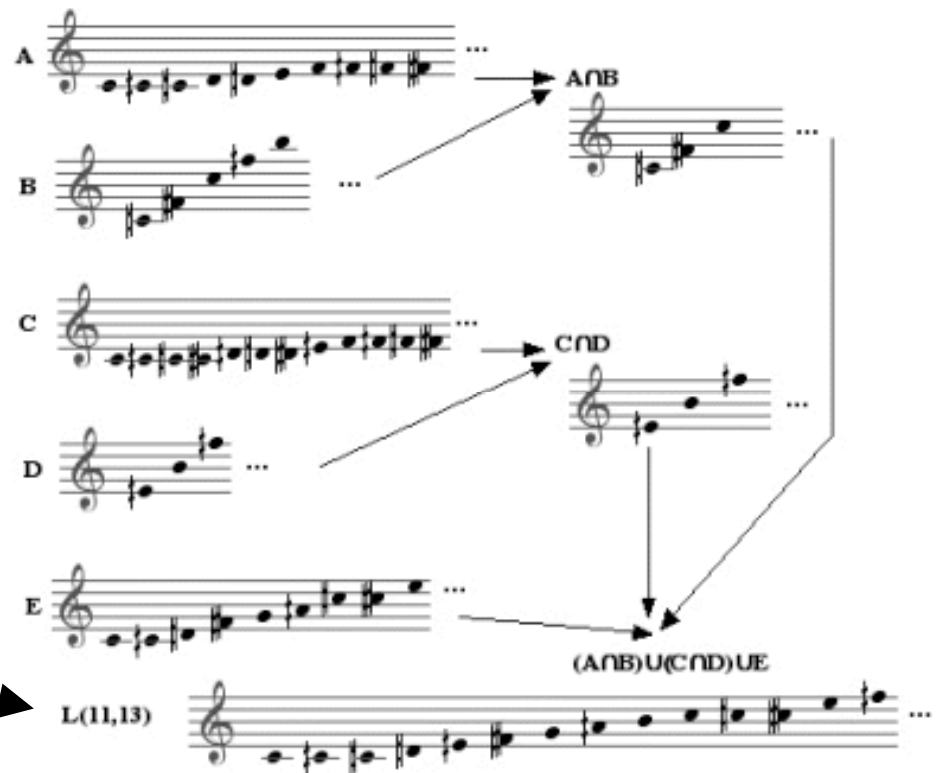
$$D = 13_9$$

$$E = 13_0 \cup 13_1 \cup 13_6$$

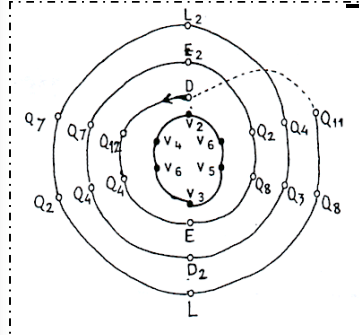
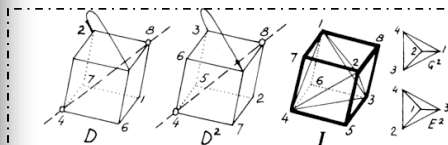
(*Nomos Alpha*, 1966)

$$(A \cap B) \cup (C \cap D) \cup E$$

1 1 4 3 4 1 5 3 2 2 1 5 3 4 1 5 7 1 5 3 4 1 5 7 1 5 3 3 1 1 5 3 1 3 1 5 2 1 4 1...



# Nomos Alpha (1966)



CUBE-TABLE1

manual loop play stop clear

	I	A	B	C	D	D^2	E	E^2	G	G^2	L	L^2	Q1	Q2	Q3	Q4	Q5	Q6	Q7	Q8	Q9	Q10	Q11	Q12
I																								
A																								
B																								
C																								
D																								
D^2																Q3								
E																Q8								
E^2															Q7									
G																								
G^2																								
L															Q8									
L^2																							Q7	
Q1																								
Q2																				L	E^2			
Q3								Q11																
Q4																				D^2		E		
Q5																								
Q6																								
Q7									Q4				Q2											
Q8									Q2				Q11											
Q9																								
Q10																								
Q11																L^2				D				
Q12								Q4																


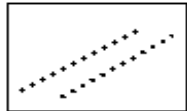
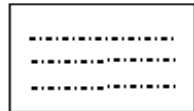
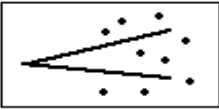
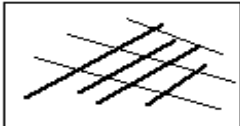

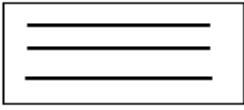
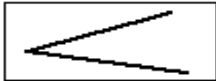
```

q11 (8 5 6 7 4 1 2 3)
q8 (7 5 8 6 3 1 4 2)
l (1 3 4 2 5 7 8 6)
q2 (7 6 5 8 3 2 1 4)
q7 (8 7 5 6 4 3 1 2)
l^2 (1 4 2 3 5 8 6 7)
q11 (8 5 6 7 4 1 2 3)
q3 (8 6 7 5 4 2 3 1)
d^2 (3 1 2 4 7 5 6 8)
q4 (6 7 8 5 2 3 4 1)
q7 (8 7 5 6 4 3 1 2)
e^2 (4 1 3 2 8 5 7 6)
q2 (7 6 5 8 3 2 1 4)
q8 (7 5 8 6 3 1 4 2)
e (2 4 3 1 6 8 7 5)
q4 (6 7 8 5 2 3 4 1)
q12 (5 6 8 7 1 2 4 3)
d (2 3 1 4 6 7 5 8)
  
```

« Musique **symbolique** pour violoncelle seul, possède une architecture « hors-temps » fondée sur la théorie des groupes de transformations. Il y fait usage de la théorie des cribles, théorie qui annexe les congruence modulo  $n$  et qui est issue d'une **axiomatique** de la structure **universelle** de la musique »

# Nomos Alpha : implémentation en OM

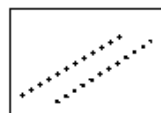
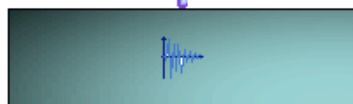
## Complexes sonores

- |    |   |   |
|----|---|---|
| S1 |    | Nuage ataxique de sons pontuels   |
| S2 |    | Nuage relativement ordonné, ascendant ou descendant, de sons ponctuels                                    |
| S3 |    | Nuage relativement ordonné, ni ascendant ni descendant de sons ponctuels                                  |
| S4 |    | Atome ionisé, représenté au violoncelle par des interférences d'un quasi-unisson accompagnés de pizzicati |
| S5 |   | Champ ataxique de sons glissés  |
| S6 |  | Champ relativement ordonné, ascendant ou descendant, de sons glissés                                      |
| S7 |  | Champ relativement ordonné, ni ascendant ni descendant, de sons glissés                                   |
| S8 |  | Champ représenté au violoncelle par des interférences d'un quasi-unisson                                  |

# Nomos Alpha : implémentation en OM

## Complexe sonore n. 2 (section Beta)

D S2



$\beta$   
 $\Lambda(41,13)$

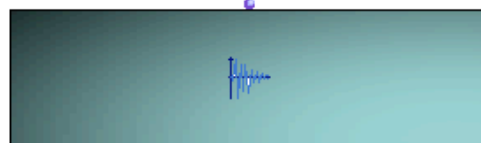
mes. 1

D S2

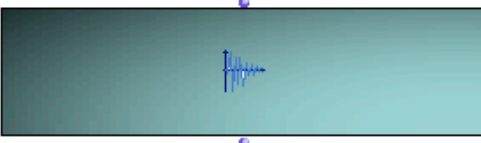
$d = 75 \text{ MM}$



Q12 S2



Q4 S2



mes. 38



(Cf. R. Peck: "Toward an interpretation of Nomos Alpha", PNM, 41(1), 106-157, 2003)

Nuage relativement ordonné, ascendant ou descendant, de sons ponctuels

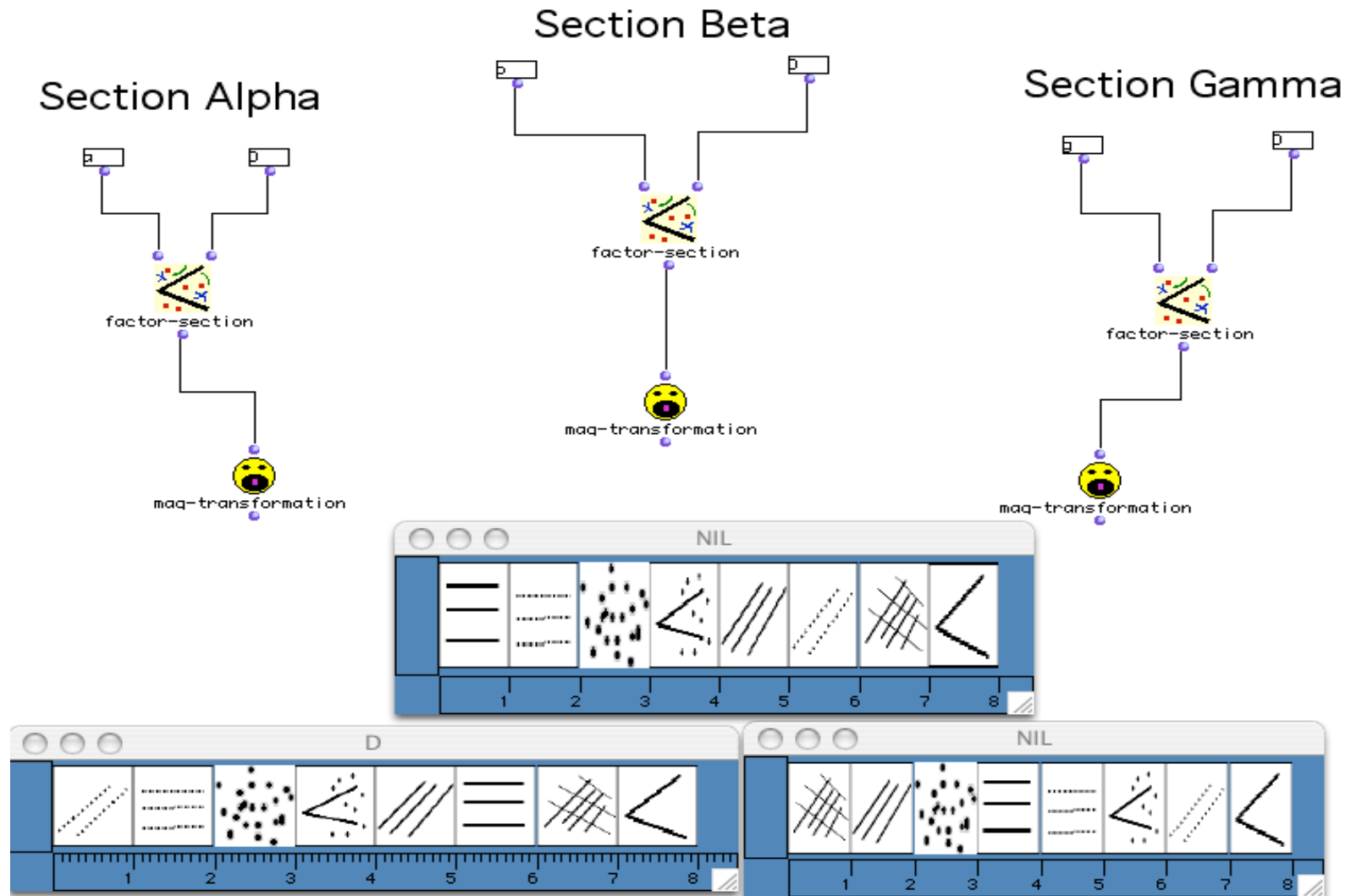


# Nomos Alpha : implémentation en OM

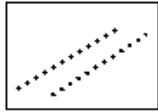


## Changement de section

(permutation des indices des complexes sonores)



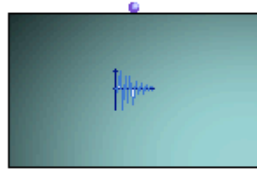
# Nomos Alpha : implémentation en OM



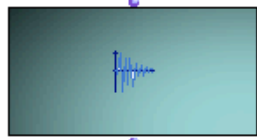
## Complexe sonore n. 2

Nuage relativement ordonné, ascendant ou descendant, de sons ponctuels

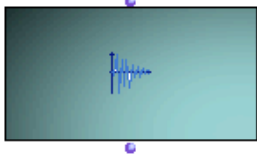
E S5



Q8 S5



Q2 S5



(section Gamma) ==>

$$\kappa^{\alpha_1} = 1 . mf . 2 \rightarrow = 2mf \rightarrow$$

$$\kappa^{\alpha_2} = 1 . fff . 4.5 = 4.5 . fff \rightarrow$$

$$\kappa^{\alpha_3} = 2.5 . fff . 4.5 = 11.25 . fff \rightarrow$$

$$\kappa^{\alpha_4} = 2.5 . mf . 2 = 5mf \rightarrow$$

$$\kappa^{\alpha_5} = 1.5 . f . 2.62 = 3.93f \rightarrow$$

$$\kappa^{\alpha_6} = 1.5 . ff . 3.44 = 5.15ff \rightarrow$$

$$\kappa^{\alpha_7} = 2.0 . ff . 3.44 = 6.88ff \rightarrow$$

$$\kappa^{\alpha_8} = 2.0 . f . 2.62 = 5.24f \rightarrow$$

☐

$$\kappa^{\beta_1} = 0.5 . mf . 2 = 1mf \rightarrow$$

$$\kappa^{\beta_2} = 0.5 . fff . 4.5 = 2.25 . fff \rightarrow$$

$$\kappa^{\beta_3} = 5 . fff . 4.5 = 22.5 . fff \rightarrow$$

$$\kappa^{\beta_4} = 5.0 . mf . 2 = 10.0mf \rightarrow$$

$$\kappa^{\beta_5} = 1.08 . f . 2.62 = 2.83f \rightarrow$$

$$\kappa^{\beta_6} = 1.08 . ff . 3.44 = 3.72ff \rightarrow$$

$$\kappa^{\beta_7} = 2.32 . ff . 3.44 = 7.98ff \rightarrow$$

$$\kappa^{\beta_8} = 2.32 . f . 2.62 = 6.08f \rightarrow$$

☐

$$\kappa^{\gamma_1} = 1 . mf . 2 = 2mf \rightarrow$$

$$\kappa^{\gamma_2} = 1 . fff . 2 \rightarrow = 2 . fff \rightarrow$$

$$\kappa^{\gamma_3} = 4.0 . fff . 4.5 = 18.0 . fff \rightarrow$$

$$\kappa^{\gamma_4} = 4.0 . mf . 2.0 = 8.0mf \rightarrow$$

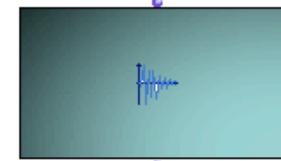
$$\kappa^{\gamma_5} = 2.0 . f . 2.62 = 5.24f \rightarrow$$

$$\kappa^{\gamma_6} = 2.0 . ff . 3.44 = 6.88ff \rightarrow$$

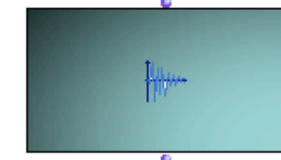
$$\kappa^{\gamma_7} = 3.0 . ff . 3.44 = 10.32ff \rightarrow$$

$$\kappa^{\gamma_8} = 3.0 . f . 2.62 = 7.86f \rightarrow$$

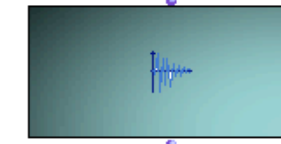
<=== (section Alpha)



E^2 S7



Q7 S7

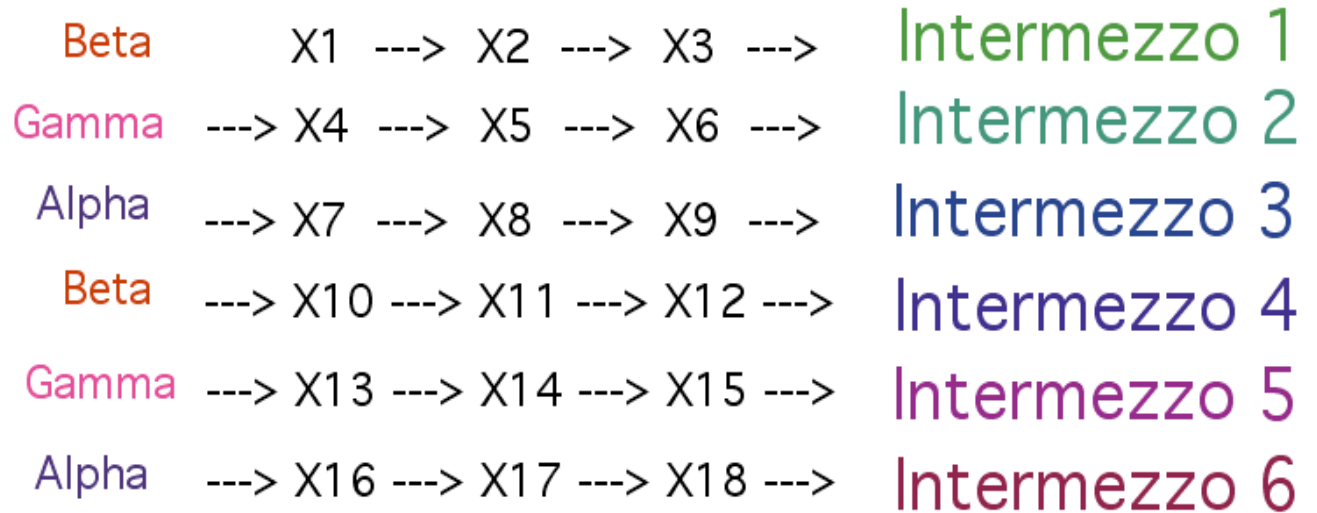


Q4 S7

# Nomos Alpha : implémentation en OM

## Structure de la pièce

Label	Order of Vertices
I	12345678
A	21436587
B	34127856
C	43218765
D	23146758
D <sup>2</sup>	31247568
E	24316875
E <sup>2</sup>	41328576
G	32417685
G <sup>2</sup>	42138657
L	13425786
L <sup>2</sup>	14235867
Q <sub>1</sub>	78653421
Q <sub>2</sub>	76583214
Q <sub>3</sub>	86754231
Q <sub>4</sub>	67852341
Q <sub>5</sub>	68572413
Q <sub>6</sub>	65782134
Q <sub>7</sub>	87564312
Q <sub>8</sub>	75863142
Q <sub>9</sub>	58761432
Q <sub>10</sub>	57681324
Q <sub>11</sub>	85674123
Q <sub>12</sub>	56871243



(Théorie des cribles)

(Théorie des cribles)

+

(Théorie des groupes)

# Nomos Alpha : implémentation en OM

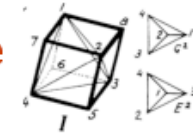


Label	Order of Vertices
I	12345678
A	21436587
B	34127856
C	43218765
D	23146758
D <sup>2</sup>	31247568
E	24316875
E <sup>2</sup>	41328576
G	32417685
G <sup>2</sup>	42138657
L	13425786
L <sup>2</sup>	14235867
Q <sub>1</sub>	78653421
Q <sub>2</sub>	76583214
Q <sub>3</sub>	86754231
Q <sub>4</sub>	67852341
Q <sub>5</sub>	68572413
Q <sub>6</sub>	65782134
Q <sub>7</sub>	87564312
Q <sub>8</sub>	75863142
Q <sub>9</sub>	58761432
Q <sub>10</sub>	57681324
Q <sub>11</sub>	85674123
Q <sub>12</sub>	56871243

Groupe de rotations du cube dans l'espace

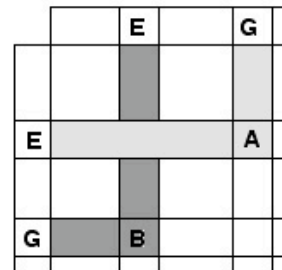
isomorphe au groupe des permutations de 4 éléments S<sub>4</sub>

isomorphe au groupe des symétries du tétraèdre

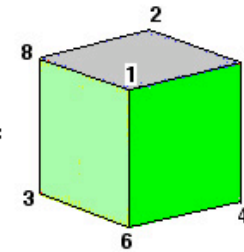


<===

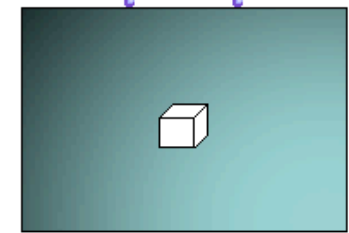
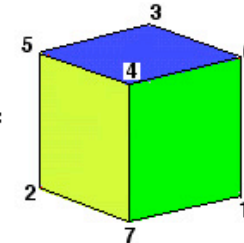
<===



E(G) = A =



G(E) = B =



$$(24316875) \circ (32417685) = (21436587)$$

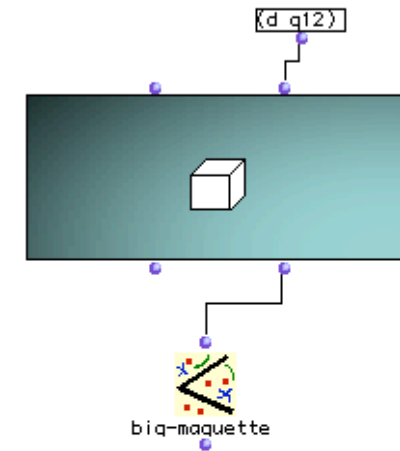
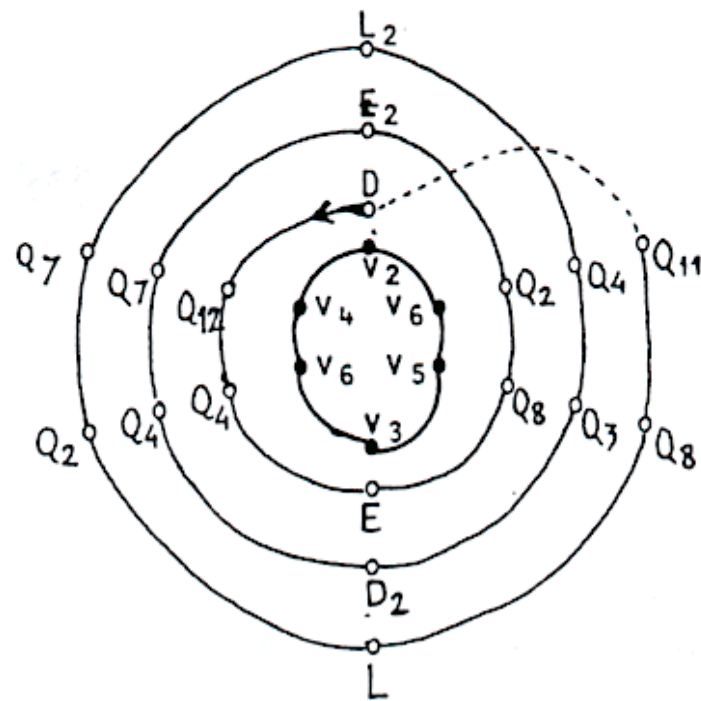
$$= (12)(34)(56)(78)$$

<====>

- 1-->2
- 2-->1
- 3-->4
- 4-->3
- 5-->6
- 6-->5
- 7-->8
- 8-->7

# *Nomos Alpha* : implémentation en OM

## Processus de Fibonacci généralisé



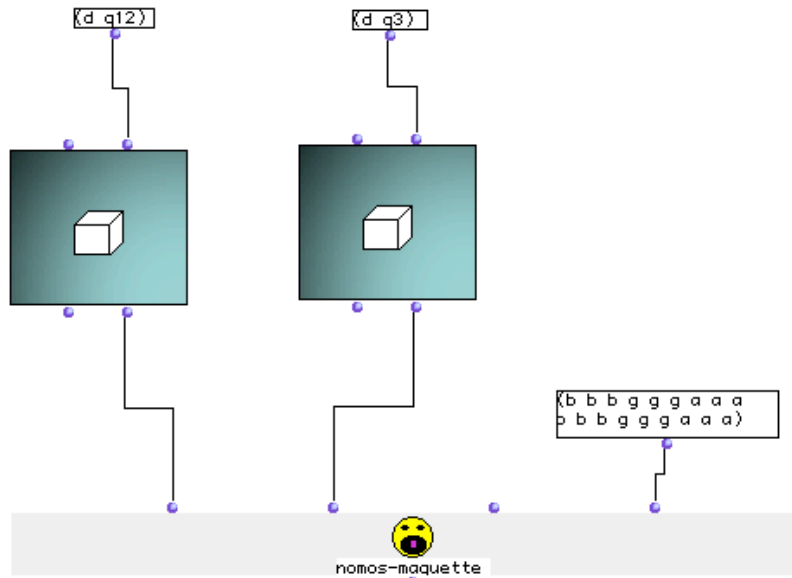
- Caractère cyclique
- Longueur maximale = 18
- Degré maximal = 13

# Nomos Alpha : implémentation en OM



## Deux processus de Fibonacci en parallèle

- S1
- S2
- S3
- S4
- S5
- S6
- S7
- S8



$$\begin{aligned}
 \kappa^{\sigma_1} &= 1 . mf . 2 \rightarrow = 2mf \rightarrow \\
 \kappa^{\sigma_2} &= 1 . fff . 4.5 = 45. fff \rightarrow \\
 \kappa^{\sigma_3} &= 2.5 . fff . 4.5 = 11.25. fff \rightarrow \\
 \kappa^{\sigma_4} &= 2.5 . mf . 2 = 5mf \rightarrow \\
 \kappa^{\sigma_5} &= 1.5 . f . 2.62 = 3.93f \rightarrow \\
 \kappa^{\sigma_6} &= 1.5 . ff . 3.44 = 5.15ff \rightarrow \\
 \kappa^{\sigma_7} &= 2.0 . ff . 3.44 = 6.88ff \rightarrow \\
 \kappa^{\sigma_8} &= 2.0 . f . 2.62 = 5.24f \rightarrow \\
 \square \\
 \kappa^{\beta_1} &= 0.5 . mf . 2 = 1mf \rightarrow \\
 \kappa^{\beta_2} &= 0.5 . fff . 4.5 = 2.25. fff \rightarrow \\
 \kappa^{\beta_3} &= 5 . fff . 4.5 = 22.5. fff \rightarrow \\
 \kappa^{\beta_4} &= 5.0 . mf . 2 = 10.0mf \rightarrow \\
 \kappa^{\beta_5} &= 1.08 . f . 2.62 = 2.83f \rightarrow \\
 \kappa^{\beta_6} &= 1.08 . ff . 3.44 = 3.72ff \rightarrow \\
 \kappa^{\beta_7} &= 2.32 . ff . 3.44 = 7.98ff \rightarrow \\
 \kappa^{\beta_8} &= 2.32 . f . 2.62 = 6.08f \rightarrow \\
 \square \\
 \kappa^{\gamma_1} &= 1 . mf . 2 = 2mf \square \\
 \kappa^{\gamma_2} &= 1 . fff . 2 \rightarrow = 2. fff \square \\
 \kappa^{\gamma_3} &= 4.0 . fff . 4.5 = 18.0. fff \square \\
 \kappa^{\gamma_4} &= 4.0 . mf . 2.0 = 8.0mf \square \\
 \kappa^{\gamma_5} &= 2.0 . f . 2.62 = 5.24f \square \\
 \kappa^{\gamma_6} &= 2.0 . ff . 3.44 = 6.88ff \square \\
 \kappa^{\gamma_7} &= 3.0 . ff . 3.44 = 10.32ff \square \\
 \kappa^{\gamma_8} &= 3.0 . f . 2.62 = 7.86f \square
 \end{aligned}$$

# Nomos Alpha : implémentation en OM



La pièce...

... et ses variantes

